



Document à accès immédiat

État des lieux des sources directes d'émission en PFAS Rapport final h3a-b haa-b **BRGM/RP-73452-FR** Version 1 du 7 juin 2024 Étude réalisée dans le cadre des projets d'appui aux politiques publiques Cavelan A., Togola A. hth-2 h₃a d7-h1a de-hia Ce rapport a été vérifié le 10/04/2024 et approuvé le .89 3740,46 -625.5 16/05/2024 selon la procédure interne en vigueur au sein du BRGM, qui garantit le respect de ses engagements contractuels, de l'intégrité et de l'impartialité du contenu scientifique et technique du présent rapport, de l'éthique et de la déontologie du BRGM, ainsi que des dispositions réglementaires et législatives auquel il est soumis pour l'exercice de son activité.

Le système de management de la qualité et de l'environnement du BRGM est certifié selon les normes ISO 9001 et ISO 14001.

Contact : qualite@brgm.fr

Votre avis nous intéresse

Dans le cadre de notre démarche qualité et de l'amélioration continue de nos pratiques, nous souhaitons mesurer l'efficacité de réalisation de nos travaux.

Aussi, nous vous remercions de bien vouloir nous donner votre avis sur le présent rapport en complétant le formulaire accessible par cette adresse https://forms.office.com/r/yMgFcU6Ctq ou par ce code :



Mots clés: PFAS, Europe, Sources, Émissions.

En bibliographie, ce rapport sera cité de la façon suivante :

Cavelan A., Togola A. 2024. État des lieux des sources directes d'émission en PFAS. Rapport final V1. BRGM/RP-73452-FR, 54 p., 3 fig., 9 tab., 2 ann.

© BRGM, 2024, ce document ne peut être reproduit en totalité ou en partie sans l'autorisation expresse du BRGM. IM003-MT008-P2-09/03/2023

Synthèse

Dès la fin des années 1950, de nombreux produits industriels et du quotidien sont fabriqués à partir de substances poly et perfluoroalkylées (PFAS). Ainsi, les PFAS sont présents dans de nombreux secteurs d'activités et de produits de consommation depuis les années 70, expliquant leur présence aujourd'hui dans l'ensemble des compartiments environnementaux. Les substances produites et leurs usages ont évolué avec le temps afin de s'adapter aux changements de la règlementation et de répondre à de nouveaux besoins. Les PFAS regroupent plusieurs milliers de molécules de synthèse, les substances PFAS présentes dans l'environnement peuvent fortement varier selon leur origine, la période à laquelle elles ont été produites, leurs capacités à se transférer vers les différents milieux récepteurs et à évoluer ou s'y dégrader. Distinguer les sources d'émission en PFAS n'est donc pas aisé. Dans ce contexte, les informations en lien avec les signatures chimiques des rejets des activités utilisant et/ou produisant des PFAS et celles des milieux impactés du fait de la dégradation et de la transformation partielle des composés durant leur transfert dans l'environnement ont été synthétisées. Ces informations doivent permettre de mieux cibler les substances à suivre dans les différents milieux environnementaux mais aussi de mieux identifier les sources potentielles d'émission en cas de pollution.

La composition des rejets pourrait être utile en vue d'associer un impact dans l'environnement à une source de pollution en PFAS si sa composition est discriminante. Ce travail montre que les rejets en PFAS sont principalement bien documentés à l'heure actuelle sur sept types d'activités. Parmi elles, citons les industries du textile, du papier et de l'emballage, les industries métallurgiques, la production et l'utilisation des mousses anti-incendie, les industries de la chimie du fluor et les industries cosmétiques et pharmaceutiques. En l'absence de données sur les substances utilisées ou rejetées par les autres secteurs d'activités (électronique, autres industries chimiques : peintures, solvants, polymères, caoutchouc, produits de consommation, électronique, automobile, BTP, etc.), aucune famille de PFAS ou substance PFAS ne peut être spécifiquement associée à leurs rejets à ce jour. Pour les sept sources d'émission documentées, la composition chimique des rejets associés reste difficile à caractériser car la liste des substances utilisées et donc potentiellement rejetées varie au cours du temps en fonction des innovations techniques et de la règlementation (voir exemple de schéma de dégradation sur la Figure 1).

De plus, suite à leur émission dans l'environnement, les substances rejetées vont évoluer, se transformer voire se dégrader. La même substance peut donc être à la fois une substance émise dans le rejet ou un produit de dégradation (Figure 1). Par exemple, étant en bout de chaîne de dégradation de la plupart des substances poly et perfluoroalkylées, les acides carboxyliques perfluoroalkylés (PFCAs) et les acides sulfoniques perfluoroalkylés (PFSAs) (dont font partie le PFOS et le PFOA), se retrouvent associés à toutes les activités émettrices de PFAS identifiées, même celles n'utilisant pas ou plus ces substances depuis plus de 20 ans dans leurs procédés industriels (Figure 1). Bien que ces substances soient les plus suivies dans le monde à l'heure actuelle, elles peuvent donc difficilement servir à identifier la source d'émission d'une pollution.

D'autres substances semblent être des indicateurs plus spécifiques de certaines activités, notamment les industries textiles, les industries du papier et de l'emballage, les industries fluorochimiques, et la production ou l'utilisation de mousses anti-incendie. Mais ces substances, dont les usages et les profils de dégradation sont encore assez peu documentés, n'ont pas toutes été utilisées ou produites au même moment, leur présence peut donc varier d'un site à l'autre en fonction des propriétés et mécanismes réactionnels pouvant s'établir dans le milieu et de la période d'usage autorisé pour l'activité qui les a générés.

Ainsi, en l'état actuel des connaissances, une meilleure caractérisation des sources d'émission en PFAS nécessite une meilleure compréhension :

- de l'historique de la fabrication, de l'utilisation et des dates d'interdiction de production et d'utilisation des PFAS dans l'ensemble des secteurs d'activités (les dates d'interdiction n'étant pas toujours claires avec, parfois, l'existence de dérogations pour certains sous usages);
- des chemins/mécanismes de dégradation de la plupart des substances fluorées, et notamment des substances émergentes qui ne sont pas documentées;
- des propriétés physico-chimiques des différentes substances, facteurs conditionnant leur répartition dans les différents compartiments de l'environnement comme le sol et l'eau souterraine voire les gaz.

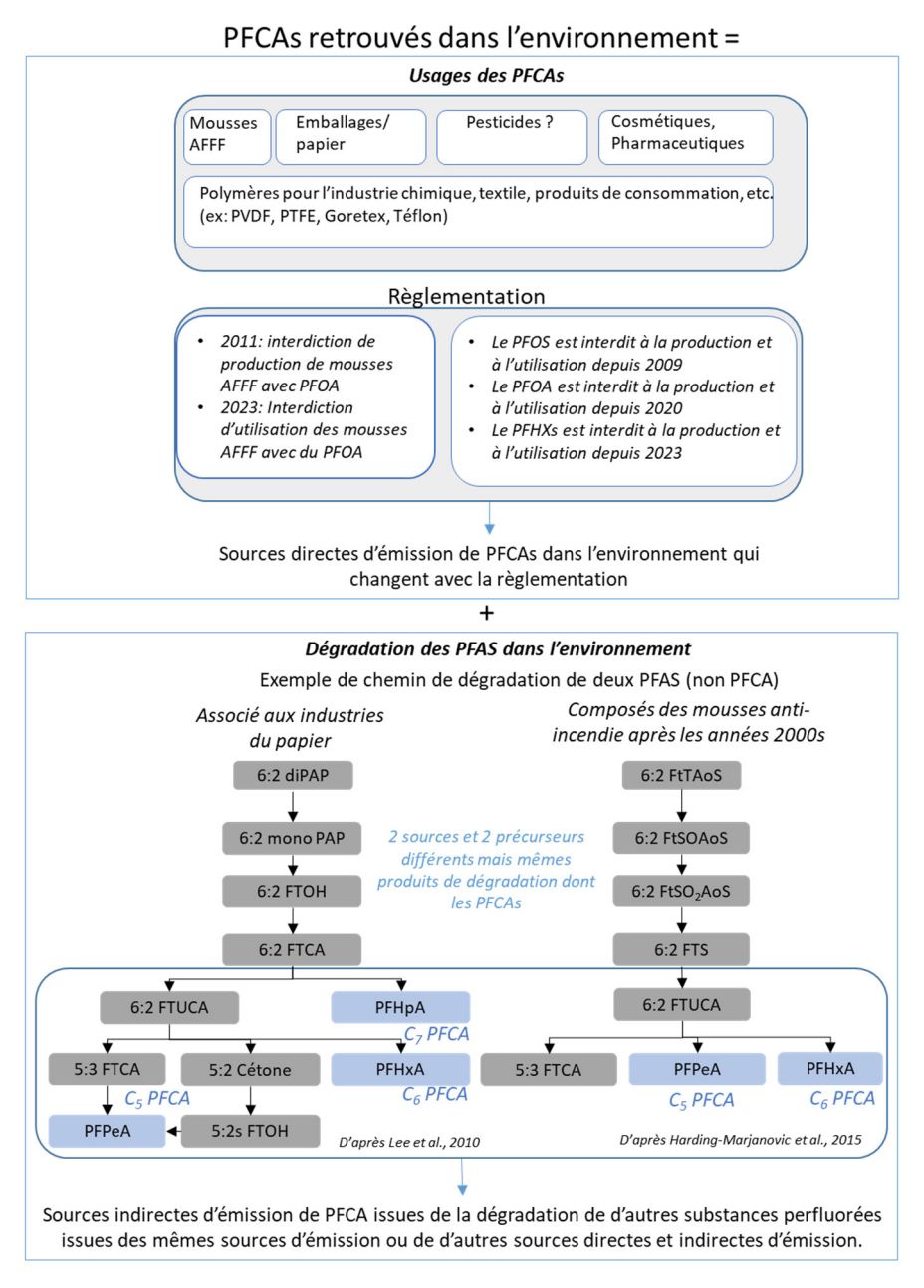


Figure 1 : Schéma expliquant la complexité d'identifier les sources en PFAS : exemple des PFCAs.

Sommaire

1.	Cont	exte	9
2.	Ident	ification des sources d'émission en PFAS	11
	2.1.	PRINCIPAUX USAGES DES PFAS	11
	2.2.	QUELLES SOURCES DOIT-ON CONSIDÉRER ? (SOURCES DIRECTES/INDIRECTES)	11
3.	Soul	ces d'émission en PFAS	13
	3.1.	INDUSTRIES FLUOROCHIMIQUES (PRODUCTION DES PFAS)	13
	3.2.	MOUSSES ANTI-INCENDIE (AFFF)	16
	3.3.	INDUSTRIES MÉTALLURGIQUES	18
	3.4.	PAPETERIES ET EMBALLAGES	18
	3.5.	INDUSTRIES TEXTILES ET TANNERIES	19
	3.6.	INDUSTRIES COSMÉTIQUES, PHARMACEUTIQUES ET PHYTOSANITAIRES	20
	3.7.	AUTRES SOURCES	
		3.7.1. Autres usages domestiques et industriels	21
		3.7.2. Cas des décharges et des STEP (sources indirectes)	22
4.	-	hèse et conclusions : peut-on discriminer les sources d'émission directes	23

Liste des figures

Figure 1 : Schéma expliquant la complexité d'identifier les sources en PFAS : exemple des PFCAs	. 4
Figure 2 : Chronologie générale de la production et de la règlementation des PFAS (modifiée d'après ITRC, 2022). En bleu les évènements liés aux méthodes de synthèse des PFAS. En vert et jaune les évènements liés à une ou plusieurs de famille de PFAS. Les autres couleurs font référence aux évènements globaux touchant toute la famille des PFAS	. 9
Figure 3 : Sources directes et indirectes d'émission en PFAS	12
Liste des tableaux	
Tableau 1 : Principaux usages des PFAS dans l'industrie	11
Tableau 2 : Synthèse des informations sur l'utilisation des PFAS associés aux industries fluorochimiques.	
Tableau 3 : Synthèse des informations sur les rejets en PFAS associés à la production et l'utilisation des mousses anti-incendie	17
Tableau 4 : Synthèse des informations sur les rejets en PFAS pouvant être associés à l'industrie métallurgique	18
Tableau 5 : Synthèse des informations sur les rejets en PFAS potentiellement associés aux industries du papier, du carton et de l'emballage	19
Tableau 6 : Synthèse des informations sur les rejets en PFAS associés aux industries du textile	20
Tableau 7 : Synthèse des informations sur les rejets en PFAS associés aux industries pharmaceutiques, cosmétiques et la production de pesticides	21
Tableau 8 : Nombre de PFAS actuellement associés aux sept sources majeures d'émission. Les substances dont la présence est probable sont les substances connues pour faire partie des impuretés ou des profils de dégradation des autres substances identifiées	23
Tableau 9 : Familles de PFAS retrouvées dans les rejets industriels et/ou utilisées par typologie d'application	24
Liste des annexes	
Annexe 1 : Liste des substances poly et perfluorées et des sources d'émission auxquelles elles sont actuellement associées	27
Annexe 2 : Profils de biodégradation connus de certains PFAS et précurseurs	39

Abréviations

AFFF: Agent formant un film flottant

CI-PFESAs : Acides polyfluoroalcanes éther sulfoniques chlorés

CI-PFUESA: Acides polyfluoroalcanes éther sulfoniques chlorés insaturés

diPAPs: Diesters d'acide polyfluoroalcanes phosphoriques

diSAmPAPs : Diesters de phosphate à base de perfluorooctane sulfonamide éthanol

ECF: Fluoration électrochimique

EtFOSA: N-éthyles perfluorooctanes sulfonamides

EtFOSAA: Acides N-éthyles perfluorooctanes sulfonamides acétiques

EtFOSE: N-éthyle perfluorooctanes sulfonamides éthanol

EtFASAAs: Acides N-éthyl perfluoroalcanes sulfonamide acétiques

FASAs : Sulfonamides poly- et perfluoroalkylées

FASEs: Perfluoroalcanes sulfonamides éthanols

FEP: Ethylène-propylène fluoré

FOSA: Perfluorooctane sulfonamide

FOSAA: Acide perfluorooctane sulfonamide acétique

FTs: Fluorotélomères

FTS: Fluorotélomères sulfonates

FTACs: Fluorotélomères acrylates

FTIs: Fluorotélomères iodés

FTABs : Fluorotélomères acrylates bétaïnes

FTALs: Aldéhydes fluorotélomères saturés

FtTAoS: Fluorotélomères thioéther amido-sulfonates

FTMACs: Fluorotélomères méthacrylates

FTMAPs : Fluorotélomères esters de phosphate mercaptoalcanes

FTO: Fluorotélomères d'oléfines

FTOHs: : Fluorotélomères d'alcools

FTSAm: Fluorotélomères sulfonamides

FTUCAs: Acides carboxyliques fluorotélomères insaturés

FTUALs : Aldéhydes fluorotélomères insaturés

NMeFOSE: N-méthyl perfluorooctanes sulfonamides éthanols

MeFASAAs: Acides n-méthyl perfluoroalcanes sulfonamide acétiques

PAP : Monoester de phosphate de fluorotélomère

PFA: Perfluoroalkoxy (Teflon-PFA)

PFAS: Substances poly- et perfluoroalkylées

PFBS: Acide Perfluorobutane Sulfonique

PFCAs: Acides carboxyliques perfluoroalkylés

PFECAs: Perfluoroalcanes-éther-carboxyliques

PFHxS: Acide perfluorohexane sulfonique

PFOA: Acide perfluorooctanoïque

PFOS: Acide sulfonique perfluorooctane

PFOSi: Acide perfluorobutane sulfonique

PFNA: Acide Perfluorononanonique

PFSAs: Acides sulfoniques perfluoroalkylés

PFUnDA: Acide perfluoroundécanoïque

PFO2HxA: Acide perfluoro-3,5-dioxahexanoïque

PFO3OA: Acide perfluoro 3,5,7-trioxaoctanoïque

PFPeA: Acide perfluoropentanoïque

PFPrOPrA: Acide perfluoro-2-propoxypropanoïque

PTFE: Polyfluoroéthylène

PFESAs: Acides polyfluoroalcanes éther sulfoniques

PFHxA: Acide undécafluorohexanoïque

PFPiAs: Phosphinates perfluoroalcanes

PFTrD: Acide perfluorotridécanoïque

PFUESA: Acides polyfluoroalcanes éther sulfoniques insaturés

PFS: Polymères fluorés à chaîne latérale

POCF: Fluorure de perfluorooctane carbonyle

POSF: Fluorure de perfluorooctane sulfone (Perfluorooctane sulfone fluoride)

PTFE: Polytétrafluoroéthylène

PVDF : Polyfluorure de vinylidène

SAmPAPs : Phosphates à base de perfluorooctane sulfonamide éthanol

STEP: Station d'épuration des eaux usées

TriSAmPAPs : Triester de phosphates à base de perfluorooctane sulfonamide éthanol

1. Contexte

La dénomination PFAS regroupe plus de 12 000 composés de synthèse produits depuis les années 1930 (Figure 2, ITRC, 2022). Dès la fin des années 1950, de nombreux produits industriels et du quotidien contiennent des PFAS en raison de leurs propriétés physiques et chimiques particulières : résistance à l'eau, aux huiles, stabilité thermique et chimique, propriétés de réduction de la friction (Garg *et al.*, 2020; ITRC, 2022). En conséquence, les PFAS sont présents dans de nombreux secteurs d'activités et une multitude de produits de consommation qui terminent leur vie dans les centres de traitement des déchets et les stations d'épuration (eaux et boues). Les études disponibles montrent que toutes ces activités, ont été, et sont encore d'importantes sources d'émission de PFAS dans l'environnement.

Les substances produites et leurs usages ont évolué afin de s'adapter aux changements de la règlementation (interdiction de certaines substances dès 2009 par le règlement sur les polluants organiques persistants de la convention de Stockholm, Figure 2).

Temps (années)	1930s	1940s	1950s	1960s	1970s	1980s	1990s	2000s	2010s	2020s
Principales étapes	premiè produc polyflu	tion du	≣)							
Fabri					Fabrication et production commerciale des PF. 200					Interdiction du PFOS* 2020 Interdiction du PFOA** 2023 Interdiction du PFHxS ***
Processus et substances		Production (ECF)	tion de	de PFAS par fluoration électrochimique						
produites		(20.)							s par flu	oro-télomérisation
					Production de Fluorure de Perfluorooctane sulfonyle (PFOS)					
		Production d'Acide Perfluorooctanoïque (PFOA)					oïque			
						ction d'A prononar)				
					Production de carboxylates d'alkyles perflu de C4 à C14 (PFCAs)				uorés	
				Product sulfona	tion de l imides d	précurse le perflu ethanols	orooctai	ne et	s)	
										As, CI-PFESA

^{*} La production et l'utilisation du PFOS sont restreints depuis 2009 dans le monde**. Le PFOA est interdit à l'import, l'export et à la production, depuis 2020 dans le monde et interdit à l'utilisation en Europe***. Le PFHxS est interdit à la production et à l'utilisation depuis 2023.

Figure 2 : Chronologie générale de la production et de la règlementation des PFAS (modifiée d'après ITRC, 2022). En bleu les évènements liés aux méthodes de synthèse des PFAS. En vert et jaune, les évènements liés à une ou plusieurs de famille de PFAS. Les autres couleurs font référence aux évènements globaux touchant toute la famille des PFAS.

Cependant, bien que les PFAS soient des produits synthétisés par l'être humain (ils n'existent pas à l'état naturel) et que certaines substances soient interdites (ex PFOS, PFOA, PFHxS), les PFAS sont présents de manière ubiquiste, dans tous les compartiments environnementaux (air, sol, eau et sédiments) et même les êtres vivants. Distinguer les sources d'émission n'est donc pas aisé (Gaines, 2023; Garg et al., 2020; Glüge et al., 2020). Étant donné que les PFAS regroupent des milliers de molécules de synthèse, le type de PFAS présent dans l'environnement dépend de leur origine (période et type d'activité génératrice), mais aussi des milieux récepteurs considérés (ex : eaux souterraines, superficielles).

Dans ce contexte, et sur la base d'un travail bibliographique, cet état des lieux a pour but de caractériser les substances utilisées et rejetées par les différentes activités émettrices de PFAS afin de dresser le profil chimique de leurs rejets. L'objectif est de collecter les informations qui pourraient permettre de mieux cibler les substances à suivre dans les différents milieux mais aussi de mieux discriminer les sources d'émission en PFAS dans l'environnement. Ce travail fait un état de l'art des données publiées avant janvier 2024.

2. Identification des sources d'émission en PFAS

2.1. PRINCIPAUX USAGES DES PFAS

À ce jour, les données disponibles permettent de référencer environ 200 utilisations des PFAS à travers 25 secteurs d'activités et pour plus d'une soixantaine d'applications diverses dans le monde (Tableau 1, Gaines, 2023; Glüge *et al.*, 2020).

Tableau 1 : Principaux usages des PFAS dans l'industrie.

Secteurs qui utilisent des PFAS	Usages
Aéronautique,	Lubrifiants, fluides hydrauliques, traitement des tissus intérieurs, revêtement antiadhésifs, peinture,
automobile	tuyaux moteurs.
Agroalimentaire, emballage/papier	Fabrication d'emballage anti-huile et anti-graisse, de films alimentaires, de papiers résultants à l'eau et à l'usure, de papiers et plaques d'impression pour la réduction de l'électricité statique, de la tension superficielle et des frottements, papiers peints.
Sidérurgie	Agents mouillants et antibrouillards, revêtements d'écran ignifuges, agents pour la gravure.
BTP/matériaux de	Revêtements intérieurs et extérieurs résistants aux intempéries, traitement du bois, vitres traitées,
construction	ciments, filtres à air, bardages, volets, portes, revêtement de toitures, de sols, de bardages métalliques.
Chimie	Processus de polymérisation, intermédiaires dans la synthèse de composés chimiques. Matières premières pour peintures/adhésifs, solvants, colles, lubrifiants et vernis, fluides hydrauliques.
	Équipements et instruments de laboratoire (flacons, matériel d'analyse résistants aux solvants). Mousses pour la lutte contre les incendies.
Électronique, énergie/nucléaire	Retardateurs de flamme, gaines anti-intempéries pour les fils électriques et les métaux, manchons de soudure, cellules photovoltaïques, revêtement anti-salissures pour films photo lithographiques, systèmes réfrigérants dans tous types d'appareils électroniques et de batteries.
Pharmaceutique, cosmétique	Régulateurs de croissance des plantes, appâts anti-fourmis, pesticides, produits nettoyants. Émulsifiants et régulateurs de viscosité dans les fonds de teints, crèmes, rouges à lèvres, shampoings, dentifrices, eyeliners, mascaras, poudres de maquillage, crèmes solaires, médicaments.
Plastique, caoutchouc	Production de polymères plastiques (PTFE, PVDF, etc.), gaines anti-intempéries, joints, tubes et tuyaux, matières isolantes. Bandes transporteuses en tissu de verre enduites.
Textile/habillement	Fabrication de vêtements et textiles imperméables, anti salissures et résistants à la chaleur ou aux
	produits chimiques (équipements de protection, vêtements de sport, ou d'extérieur). Tissus imprégnés
	de PTFE. Tissus pour l'automobile. Tissus d'intérieurs et d'extérieurs divers.
Autres	Produits de consommation variés (ex : revêtement pour les ustensiles de cuisine). Armement. Instruments de musique.

2.2. QUELLES SOURCES DOIT-ON CONSIDÉRER ? (SOURCES DIRECTES/INDIRECTES)

Les sources d'émission de PFAS sont souvent divisées en sources directes et indirectes d'émission (Figure 3). Les rejets liés à la production industrielle des PFAS ou à l'utilisation des PFAS dans les processus industriels secondaires pour l'amélioration des performances de différents produits (galvanisation des métaux, revêtement des textiles, traitements du papier, peintures, production de matériaux semi-conducteurs, utilisation de mousses anti-incendie) sont considérés comme des sources directes d'émission. En revanche, les rejets diffus dans l'eau ou les sols issus de l'utilisation et de l'usure quotidienne des produits qui contiennent des PFAS (usure des textiles, des produits de consommation et utilisation de produits cosmétiques contenant des PFAS etc.), les rejets causés par la dégradation lors du stockage et l'élimination dans les décharges et les boues d'épuration des STEP de produits contenant des PFAS, et les retombées atmosphériques sont considérés comme des sources indirectes d'émission (Dasu et al., 2022; Garg et al., 2020; Glüge et al., 2020). S'il est possible d'établir un profil chimique des sources directes d'émission en fonction des substances utilisées dans les processus industriels,

les impuretés associées et leurs produits dégradation, ce n'est pas le cas des émissions indirectes. Ces dernières constituent un mélange indissociable de substances issues des différentes sources d'émission et dont les différents profils chimiques peuvent fortement varier d'un site à l'autre selon les usages. C'est pourquoi, seule la discrimination des sources directes d'émission est possible. Dans le cas des décharges, le profil chimique dépendra, par exemple, de l'abondance et de la nature des produits stockés issus des différents secteurs d'activités ; un seul et unique profil chimique ne peut donc être établit. L'état des lieux présenté ci-dessous est donc majoritairement centré autour des sources directes d'émission.

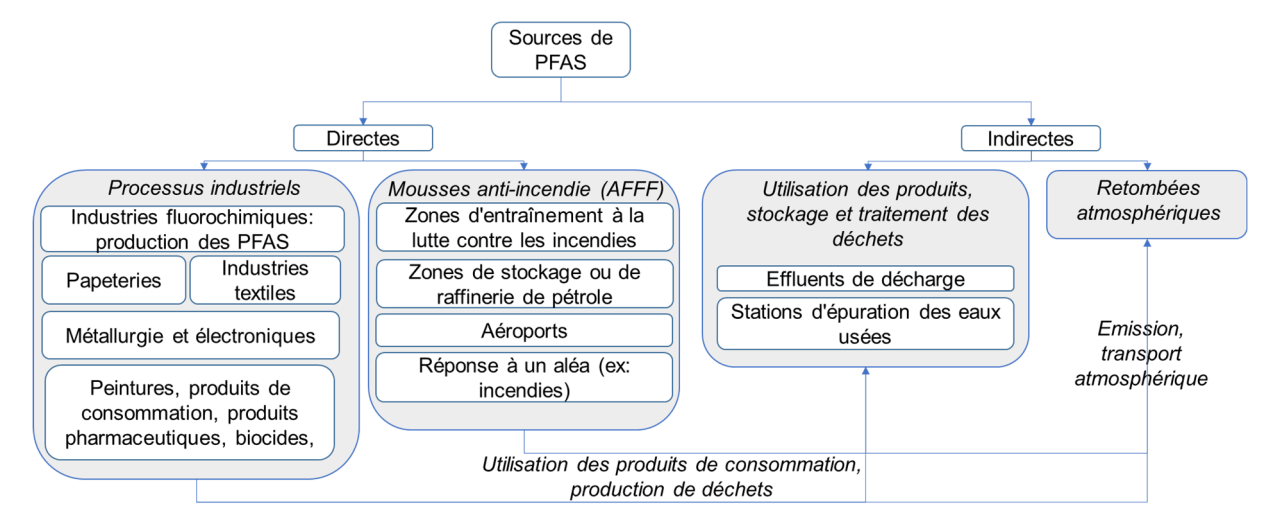


Figure 3 : Sources directes et indirectes d'émission en PFAS.

3. Sources d'émission en PFAS

Ce chapitre fait un état de l'art des substances identifiées dans les processus industriels et les rejets des principales activités émettrices de PFAS afin d'en dresser un profil chimique général. Il est important de noter que les substances identifiées pour chaque source d'émission sont dépendantes des connaissances actuelles. Si une substance n'est pas associée à une activité dans cet état de l'art, cela ne signifie pas forcément que la source n'en produit pas. Toutes les substances impliquées dans les procédés industriels ne sont pas connues. De plus, il se peut que certaines substances pourtant bien présentes n'aient pas encore été recherchées à proximité de certaines sources d'émission en raison du manque de connaissances sur ces substances et des difficultés pour les analyser. Au contraire, des substances ont pu être attribuées à tort à certaines sources en raison du mélange possible de rejets de différentes sources directes et indirectes d'émission se trouvant sur un même secteur. Les informations communiquées ici ne sont donc pas exhaustives et pourront nécessiter des mises à jour en fonction de l'évolution future des connaissances.

3.1. INDUSTRIES FLUOROCHIMIQUES (PRODUCTION DES PFAS)

Plusieurs procédés majeurs ont permis la synthèse des PFAS contenant des chaînes perfluoroalkyles : la fluoration électrochimique (ECF) des années 1940 aux années 2000 et la fluorotélomérisation des années 1970 à aujourd'hui (Figure 2, Tableau 2). En raison des propriétés dangereuses du PFOS et du PFOA et de leur large diffusion à travers le monde, ses principaux fabricants ont progressivement retiré ces composés de la production dès les années 2000 et de nombreux pays ont progressivement interdit ou restreint la production et l'usage des acides sulfoniques perfluoroalkylés (PFSAs) et des acides carboxyliques perfluoroalkylés (PFCAs) à chaînes longues (Holmquist, 2016; Holmquist *et al.*, 2021; Wang *et al.*, 2014). En Europe, la production et l'utilisation du PFOS, du PFOA, du PFHxS et des produits apparentés ont été progressivement interdits à partir de 2009 (convention de Stockholm) (Figure 2).

Dès lors, d'autres molécules fluorées à chaînes plus courtes, jusqu'alors peu utilisées, ont servi de substituts, et ont vu leurs rejets dans l'environnement augmenter (ITRC, 2022; Pan et al., 2018; Prevedouros et al., 2006; Ruan et al., 2010; Wang et al., 2014, 2013). Ces composés incluent, par exemple, les Fluorotélomères Sulfonates (FTS) et les Fluorotélomères Alcools (FTOH) (Tableau 2, Holmquist, 2016; Holmquist et al., 2021; Wang et al., 2014). Cependant, la plupart de ces composés correspond à des « précurseurs » capables de se dégrader en PFOA, PFOS ou en d'autres PFSAs et PFCAs à chaînes courtes (Tableau A2, Berhanu et al., 2023). Cela a poussé l'émergence de nouvelles substances fluorées à chaînes courtes qui ont été également largement utilisées dans l'industrie depuis dix ans. Parmi ces « nouveaux » PFAS, citons d'une part, les éthers polyfluorés (PFECAs) et leurs dérivés chlorés (CI-PFECAs) tels que l'ADONA, le HPFO-DA (ou GenX®), le HPFO-TA, le EE4-NH4 et le F53B qui ont progressivement été remplacé le PFOA et le PFNA pour la fabrication des fluoropolymères, et d'autres part, les acides polyfluoroéther sulfoniques (PFESAs) et leur variante chlorée (CI-PFESAs) utilisés en remplacement du PFOS pour la métallurgie (Munoz et al., 2019). Aucune information n'est disponible à ce jour concernant le procédé de synthèse des PFECAs et des PFESAs. Est-ce par le procédé de fluorotélomérisation¹ ? Cela explique la diversité des composés identifiés dans les différents milieux à proximité de ces industries. L'histoire de la production de PFAS est difficile à décrire avec précision en raison de la confidentialité des processus de production qui ne permet pas toujours d'identifier les substances utilisées et leurs évolutions.

-

¹ Procédé chimique par lequel les fluorotélomères sont synthétisés.

Le tableau 2 résume les principaux PFAS et précurseurs impliqués dans la production et/ou identifiés dans les rejets des industries fluorochimiques par milieu. Ces composés sont identifiés dans la liste présentée en Annexe de ce rapport (Tableau A1). Ainsi, les substances majoritairement rencontrées à proximité des industries fluorochimiques se composent de l'ensemble des substances utilisées dans la production des substances poly et perfluorées au cours du temps, des impuretés associées, et de leurs produits de dégradation (Tableau 2).

Aujourd'hui, les principaux producteurs de PFAS à travers le monde sont les entreprises CLARIANT, 3M, DUPONT, DAIKIN, CHEMOURS et ASAHI GLASS. En France, différentes entreprises ont produit ou produisent des substances perfluoroalkylées pour les secteurs de l'électronique, de l'automobile, du bâtiment, de la pharmacie ou de l'agrochimie.

Tableau 2 : Synthèse des informations sur l'utilisation des PFAS associés aux industries fluorochimiques.

Procédés de fabrication	Fluorination électrochimique (ECF)		Télomérisation				Non documenté		
Produits sources (monomères)	Fluorure de perfluorooctane sulfonyle (POSF)	Fluorure de perfluorooctane carbonyle (POCF)	Iodure de per	de perfluoroalkyle (PFAIs)			Non documenté		
Produits intermédiaires	/ Perfluorooctanes sulfonamides/sulfonamides éthanols (FASAs)	/	/	Fluorotélomè Fluoro- télomères oléfines (6:2 FTOs)	elomères (6:2 FTS), Fluorotélomères alcools léfines (6:2 (6:2 FTOHs)		Non documenté Non documenté		
Produits finis	PFOS PFAS non- polymère chaînes latérales fluorées (ex: acrylates)	PFOA	PFOA	PFNA	PFAS non polymères (PFPiA, PFAPA)	Polymères à chaînes latérales fluorés (ex 6:2 FTAC)	Cl-6:2 PFESA, Cl-8:2 PFESA, C4-C8 PFESA	C4 à C9 PFECAs, C8 à C17 CI-PFECAs	
Utilisations	Surfactant Biocides Traitement de surface, mousses AFFF, Fabricat Fabrication de PTFE, FEP, PFA Fabrication de PVDF Traitement de surface, mousses AFFF Traitement de surface Surfactant Fabrication de PTFE, FEP, PFA, PVDF	ion de PTFE, FEP, Pl	I FA, de PVDF				1		
Composés Eaux mesurés Sol/	PFECAs (PFPrOPrA, PFO2HxA, PFO3OA), C 6:2, 8:2 FTUCA, 6:2, 8:2 FTCA, C4 PFESA, C	4 PFECA, FHxSA	•	ŕ				FTS, 6:2 FTAB, 6:2 FTA,	
sédiments Air/ poussières	C4 à C14 PFCAs et C3 à C14 PFSAs, 6:2 FTS, FOSAA, FOSA, MeFOSA, 6:2,8:2, 10:2 FTCA, 6:2, 8:2 FTUCA, C4 PFESA? C4-C14 PFAI C4 à C10 PFCAs et C3 à C14 PFSAs, 6:2, 8:2 et 10:2 FTOH, 6:2, 8:2, 10:2 FTUCA, 6:2, 8:2, 10:2 FTCA, FOSA, FOSAA, MeFOSA, FHxSA, C4, C8 PFESA, C4, C8 PFECA, C4 à C14 PFAI								
Caractéristiques spécifiques	Rejets de PFCAs et de PFSAs de C4 à C10 liné chaines paires et distribution centrée sur le PFO Augmentation du ratio chaines courtes/chaines distance et le temps.	A et le PFOS.	Rejets de PFO par le PFOA		4 majoritairem	ent linéaires dominés	Présence de PFESA, PF PFECA souvent conjoir dégradation des substan télomérisation avant 200	ites avec les produits de ces produites par ECF et	
Références	Bach et al., 2017; Bao et al., 2019; Chai et al., 2017; Chen et al., 2018; Dasu et al., 2022; Dauchy, 2023; Dauchy et al., 2017, 2012a, 2012b; He et al., 2022; Paustenbach et al., 2006; Prevedouros et al., 2006; Ruan et al., 2010; Song et al., 2023; Sun et al., 2016; Wang et al., 2014								

3.2. MOUSSES ANTI-INCENDIE (AFFF)

Les mousses anti-incendie (Aqueous Film Forming Foam, AFFF ou mousses filmogènes aqueuses) forment des mélanges complexes de tensioactifs fluorocarbonés utilisés depuis les années 1960 pour éteindre les incendies de catégorie B (incendies de liquides, ex: huile, kérosène, alcools, acétone, autres combustibles hydrocarbonés non solubles dans l'eau) ou C (incendies de gaz hors gaz liquéfiés). Cette catégorie de mousse est largement utilisée dans les aérodromes, les raffineries de pétrole, lors d'interventions d'urgences (type incendie de Lubrizol) mais aussi dans les bases aériennes, navales et militaires pour la formation à la lutte contre les incendies. Suite à leur dispersion, les mousses se déversent directement dans l'environnement (Dasu et al., 2022; Dauchy et al., 2019a; Hale et al., 2017; Høisæter et al., 2019; Prevedouros et al., 2006; Reinikainen et al., 2022). Ainsi, la production et l'utilisation de ces mousses constituent des sources d'émissions directes importantes de PFAS dans l'environnement.

Les mousses anti-incendie qui contiennent des PFOS sont interdites à la vente et à l'utilisation depuis juin 2009. La production des mousses contenant du PFOA est interdite depuis 2011 et la production et l'utilisation du PFOA est interdite depuis 2020 mais l'utilisation de mousse contenant du PFOA est encore autorisée par dérogation jusqu'au 4 juillet 2025. Depuis les années 2010, des mousses sans produits fluorés sont commercialisées pour les remplacer, mais des stocks de mousses AFFF fluorées sont donc toujours utilisées.

Le Tableau 3 fait la synthèse des informations recueillies sur les rejets en PFAS associées à la production et à l'utilisation des mousses anti-incendie. Ainsi, en raison de l'utilisation historique et répétée de ces différentes formulations d'AFFF sur de nombreux sites, l'identification des profils chimiques des PFAS provenant des usages de mousses anti-incendie est souvent complexe (Ahrens et al., 2016; Andraju et al., 2023; Barzen-Hanson et al., 2017; Charbonnet et al., 2021; Langberg et al., 2022; Ruyle et al., 2021; Stults et al., 2023). On retrouve ainsi dans les sols, les sédiments et les eaux, l'ensemble des PFAS présents dans la composition (ou en impuretés) des différentes formulations de mousses utilisées au cours des dernières décennies ainsi que les produits issus de leur dégradation.

En France, plusieurs fabricants de mousses anti-incendie pourraient utiliser ou avoir utilisés des PFAS. Il faut ajouter à ces sites de production l'ensemble des sites où ces mousses ont été utilisées, à savoir, les lieux de service de sauvetage et de lutte contre les incendies, les lieux d'incendies industriels, les aérodromes, les sites de stockage ou de raffinerie de pétrole, les ports, les industries pétrochimiques, les sites militaires et potentiellement les zones d'essais des sites SEVESO. Ainsi, on peut estimer que la production et l'usage des mousses anti-incendie en France constituent probablement une source non négligeable de rejets de PFAS dans l'environnement. De plus, ces rejets liés à l'utilisation des mousses s'effectuent directement dans l'environnement, donc sans aucun traitement préalable.

Plus d'informations sur les PFAS associés à l'utilisation des mousses AFFF sont disponibles dans le rapport : Cavelan and Togola, 2024, BRGM/RP-73431-FR.

Tableau 3 : Synthèse des informations sur les rejets en PFAS associés à la production et l'utilisation des mousses anti-incendie.

Périodes d'utilisation		De 1965 à 1975	De 1970s à 2000s	De 1970s à 2000s	De 1990s à 2010s	De 2000s à 2010s	De 2010s à 2020s		
Origine des PFAS		ECF ECF		Télomérisation	Télomérisation	Télomérisation	Télomérisation ou mousse sans substances fluorées		
Exemple de producteurs		3M 3M		Ansul, National Foam,	Angus, Chemguard	Buckeye	Foreade Fire Servie Plus, BioEx*, Eau et Feu*, Vanrullen Uniser*, Profoam international*, Buckeye		
PFAS utilisés dans les mousses		C4-C8 PFCAs	C ₄ à C ₈ PFSAs et Cl-PFSAs C ₄ à C ₇ PFSaAms 4:2, 6:2, 8:2 FTSAS C ₃ à C ₈ PFSaAmAs 0,1 et 1 % en masse de C ₄ à C ₈ PFCAs (traces)	4:2, 6:2, 8:2 FTS 6:2, 8:2 FTAs, 4:2, 6:2, 8:2, 10:2 FTABs, 4:2, 6:2, 8:2 FtTAoS 6:2 FTAA	6:2, 8:2 FtTHN 6:2 FtTAoS 8:2, 10:2 FTCAs 6:2 FTAA	5:3, 5:1:2, 7:3, 7:1:2; 9:3; 9:1:2 FTB	6:2, 8:2 FTAs 4:2, 6:2, 8:2 FTABs 5:3, 5:1:2, 7:3, 7:1:2; 9:3; 9:1:2 FTBs 4:2, 6:2, 8:2 FTS		
Composés mesurés	Eaux Sol/sédiments Air	C ₄ à C ₁₆ PFCAs MeFHxSE, Me	S, 4:2, 6:2, 8:2 FtTAoS, C ₄ à C ₇ PFS s, C ₄ à C ₁₁ PFSAs, 6:2 à 14:2 FtTAoS FHpSE, MeFBSE, EtFOSE, FOSAA ne 1157 $^{\odot}$, 6:2 FTAA	S et FTSAS, C4 à C8 FASA, EtFO	OSA, MeFOSA, FOSE,	MeFOSE, ME	as, C4 à C12 PFAI, 6:6, 6:8, 8:8 PFPiA,		
Caractéristiques spécifiques		Augmentation des teneurs en fluorotélomères depuis leur usage en tant que remplaçant du PFOS dans les années 2000s. Mélanges de produits de dégradations issus de toutes les mousses utilisées sur les sites (avec dominance des C ₄ à C ₈ PFSAs et PFCAs). Distribution dominée par les C ₅ à C ₈ PFCAs et PFSAs dans l'eau. Prédominance de PFOS, de PFHxS, de FOSA, et de 6:2 FTS dans les sédiments.							
Références		Ahrens et al., 2015; Backe et al., 2013; Baduel et al., 2017; Choi et al., 2022; Cook et al., 2022; D'Agostino and Mabury, 2017a, 2017b, 2014; Dasu et al., 2022; Dauchy et al., 2019a, 2019b, 2017; Feng et al., 2023; Filipovic et al., 2015; Hale et al., 2017; Høisæter et al., 2019; Houtz et al., 2016, 2013; Langberg et al., 2021, 2019; Luo et al., 2020; Moody and Field, 2000; Place and Field, 2012; Prevedouros et al., 2006; Reinikainen et al., 2022; Ruan et al., 2010							

^{*}Pas de données sur la composition chimique des mousses produites par ces fabricants

3.3. INDUSTRIES MÉTALLURGIQUES

Les industries métallurgiques ont majoritairement utilisé le PFOS comme suppresseur de brouillard (anti-aérosols) pendant les processus de galvanisation des métaux durs. Depuis le changement de la règlementation concernant le PFOS, le PFBS, puis le 6 :2 FTS et les Cl-PFESAs (Cl-6:2 PFESA appelés aussi F53B) ont majoritairement remplacé le PFOS comme surpresseur de brouillard (Lin et al., 2017). Bien que la production de PFOS soit interdite un peu partout dans le monde depuis 2009, l'utilisation de PFOS et de ses dérivés pour le placage de métaux durs est cependant toujours autorisée sur dérogation dans certains pays. L'industrie métallurgique peut donc s'avérer être encore aujourd'hui une source importante de PFAS. Le Tableau 4 fait la synthèse des informations collectées sur les rejets en PFAS associés à l'industrie métallurgique. Ces rejets se composent principalement des substances utilisées en tant qu'anti-aérosols, mais inclus également leurs impuretés et leurs produits de dégradation.

En France, plusieurs dizaines d'industries sont spécialisées dans le traitement de surface des métaux. Cependant, aucune utilisation de PFAS ne leur est connue à ce jour.

Produits utilisés		PFOS et ses dérivés, autre PFSAs (impuretés), 6:2 FTS et					
		6:2 Cl-PFESA (remplacement du PFOS)					
Composés identifiés	Eaux	C ₅ à C ₁₂ PFCAs, C ₄ à C ₁₀ PFSAs, Cl-6:2 PFESA, Cl-8:2					
dans les rejets		PFESA, 1H-6:2 PFESA,1H-8:2PFESA, 8:2 PFUESA, 4:2,					
·		6:2 et 8:2 FTS.					
	Sol/sédiments	C ₄ à C ₁₂ PFCAs, Cl-6:2 PFESA, Cl-8:2 PFESA, 1H-6:2					
		PFESA,1H-8:2PFESA, 1H-6:2 PFUESA					
	Air	Pas de données					
Caractéristiques spécifi	ques	Présence majoritaire de PFPeA, PFOS, PFHxS, de 6:2 FTS					
		et de 6:2 Cl-PFESA en comparaison de d'autres sources					
Références		Alnehem, 2016; Du et al., 2016; Fath et al., 2016; Lin et al.,					
		2017; Na et al., 2021; Qu et al., 2020; Wang et al., 2016;					
		Thang et al. 2016					

Tableau 4 : Synthèse des informations sur les rejets en PFAS pouvant être associés à l'industrie métallurgique.

3.4. PAPETERIES ET EMBALLAGES

Depuis les années 1940, de nombreuses substances perfluorées ont été ajoutées dans les revêtements de divers matériaux d'emballage (gobelets en papier, cartons, films alimentaires, etc.), des couvertures de livres, des papiers peints, ou encore des encres d'impression pour accroitre leur résistance aux tâche et à l'eau (Glüge *et al.*, 2020; Trier *et al.*, 2011). La présence de PFAS dans les emballages peut varier considérablement d'un produit à l'autre.

Identifier la nature et la source des PFAS dans ces matériaux n'est donc pas simple (D'eon et al., 2009; Monge Brenes et al., 2019; Trier et al., 2011). De 1974 à 2002, des PFCAs, des PFSAs à chaînes longues (PFOS, PFOA) et de nombreux précurseurs de PFOS ont été utilisés dans les matériaux d'emballage en contact avec les aliments comme le 6:2 FTS, le 6:2 FTMAP, le MeFOSE et les esters et diesters phosphatés à base de perfluorooctane sulfonamide éthanol (SAmPAP et diSAmPAP). Dans les années 2010, les phosphates mono- et di-esters (PAPs, diPAPs) sont à leur tour largement utilisés, comme alternatives fluorées aux PFCAs et PFSAs à longue chaîne et leurs dérivés (Benskin et al., 2012a; Trier et al., 2011). L'utilisation de ces composés et leur capacité à se dégrader en PFCAs et PFSAs font des industries du papier et de l'emballage, des sources directes potentielles d'émission d'une multitude de substances dans l'environnement. Le Tableau 5 regroupe les informations collectées sur les rejets en PFAS associés aux industries du papier, du carton et de l'emballage. Il s'agit des composés rentrant directement dans la composition des revêtements utilisés et de leurs impuretés et produits de dégradation.

De nombreuses industries du papier et de l'emballage papier et carton sont implantées en France. Mais à ce jour, aucune information n'indique si ces entreprises utilisent ou ont utilisés des PFAS dans leurs procédés de fabrication.

Tableau 5 : Synthèse des informations sur les rejets en PFAS potentiellement associés aux industries du papier, du carton et de l'emballage.

D 1 '4 4'1' '		C . 11 ® (CA. DAD 1/CA. DAD M. FOOF 40 (O 100 1/DAD (O 0 0 T/DAD)					
Produits utili	ises	Scotchban® (SAmPAP, diSAmPAP, MeFOSE, 4:2, 6:2, 12:2 diPAPs, 6:2, 8:2 TriPAPs),					
		mixture de fluorotélomères (6:2, 10:2 FTMAPs + 4:2, 6:2, 8:2 et 10:2 FTS, et parfois 6 :2					
		FTOHs), ou mixture de C ₆ à C ₁₄ PFCAs et de 10:2 FTS, Cl-PFHxPA, Cl-PFOPA					
Composés	Eaux	Distribution souvent dominée par le PFOA, le PFOS, le FOSA et l'EtFOSAA accompagnés de					
mesurés		plus petites proportions de C ₅ à C ₇ et C ₉ PFCAs, de FASAs, de FOSAA, de 6:2, 8:2 FTCAs, de					
		6:2, 8:2 FTUCAs, de 6:2; 8:2, 10:2 diPAPs et de diSAmPAP					
	Sol/sédiments	6:2, 8:2, 10:2, 12:2, 14:2 FTS, 6:2, 8:2, 10:2 FTMAPs, 4:2, 6:2, 12:2 diPAPs, diSAmPAP et					
		triSAmPAP,					
		FOSAA, MeFOSE, EtFOSAA, MeFOSAA, EtFOSA, 6:2, 8:2 FTCAs, 6:2, 8:2 FTUCAs, C4 à C9					
		PFSAs et PFCAs.					
	Air	Pas de données					
Caractéristiq	ues spécifiques	Les FTS, les FASA et les diPAPs, mono et diSAmPAP sont abondants en comparaison de					
		d'autres sources, surtout dans les sédiments. Evolution en fonction de l'historique des usages: la					
		concentration la plus forte en PFOS est généralement en profondeur, les preFOS et le SAmPAPs					
		sont abondants à profondeurs moyennes et les PFCAs et les FTS sont majoritaires dans la partie					
		superficielle.					
Références		(Benskin et al., 2012a; Bugsel et al., 2022; Kärrman et al., 2011; Langberg et al., 2021; Siao et					
		al., 2022; Zabaleta et al., 2020, 2016)					

3.5. INDUSTRIES TEXTILES ET TANNERIES

Dans l'industrie textile, les PFAS sont appliqués comme revêtements hydrofuges, résistants aux taches et à l'huile sur les tissus conçus pour les activités de plein air, les équipements de protection individuelle (EPI) ou pour le mobilier d'extérieur et d'intérieur (Glüge *et al.*, 2020; Gremmel *et al.*, 2016; Janousek *et al.*, 2019; Peaslee *et al.*, 2020; Wang *et al.*, 2016; Williams, 2017). Les substances utilisées pour l'imprégnation de ces textiles ont évolué au cours du temps en fonction des industriels et de la règlementation (Tableau 6, Kissa, 2001; Wang *et al.*, 2016).

Les PFAS peuvent être libérés directement lors de la fabrication (via les rejets atmosphériques et les eaux usées), l'utilisation (usure) mais aussi l'élimination du produit textile (industrie du stockage et du traitement des déchets) (Heydebreck et al., 2016; Schellenberger et al., 2022). En effet, les facteurs de contrainte subis par ces textiles durant leur utilisation (changements de température, expositions aux produits chimiques, au soleil, aux précipitations) ainsi que leur lavage répété peut entraîner l'émission diffuse de ces composés chimiques et de leurs produits de transformation dans les sols et l'eau (Berhanu et al., 2023; Heydebreck et al., 2016; Schellenberger et al., 2022; Van Der Veen et al., 2022; Zhang et al., 2022). Le Tableau 6 fait la synthèse des informations collectées sur les rejets en PFAS associés aux industries du textile. Peu de données existent à propos des rejets dans les sols et les sédiments. On y retrouve principalement les produits utilisés comme matériaux primaires ou comme agents dans les revêtements ainsi que leurs produits de dégradation.

Tableau 6 : Synthèse des informations sur les rejets en PFAS associés aux industries du textile.

Produits utilisés		Avant 2010s	De 1970s à 2020s	Depuis 2010s		
		C ₄ , C ₆ , C ₈ PFCAs C ₄ , C ₆ , C ₈ PFSAs	6:2, 8:2 ,10:2 FTOHs 6:2, 8:2 FTS	FOSA, MeFOSA, EtFOSA, MeFOSE, EtFOSE,		
			6:6, 6:8, 8:8 PFPiAs 6:2, 8:2 10:2 FTACs	6:2, 8:2, 10:2 FTMACs C ₄ -C ₁₀ PFAPAs,		
Composés mesurés	Eaux Sol/sédiments Air	C ₄ à C ₁₆ PFCAs, PF C ₄ à C ₁₄ PFCAs, C ₄ FTOH, 6:2, 8:2, 10 EtFOSA, MeFOSE,	, C ₆ , C ₇ PFSAs, 4 :2, 6 :2, 8) :2 FTACs, 6 :2, 8 :2, 10 : EtFOSE	8:2, 10:2 FTOHs et 12:2 2 FTMACs, FOSA, MeFOSA,		
Caractéristic	ques spécifiques	Occurrence forte de PFOA, de PFOS et de PFHxS. Proportion de PFCAs à chaînes courtes (<c<sub>8) souvent plus élevée que celle des PFCAs à chaînes longues.</c<sub>				
Références		Androulakakis et al., 2022; Gremmel et al., 2016; Gu et al., 2021; Heydebreck et al., 2016; Maizel et al., 2023; Mumtaz et al., 2019; Peaslee et al., 2020; Rewerts et al., 2018, 2018; Schellenberger et al., 2022; Sim et al., 2021; Wang et al., 2016; Williams, 2017				

En France, d'anciennes industries textiles ont pu utiliser des PFAS. Cependant, depuis 10 ans, de nombreux producteurs de textiles européens sont progressivement passés à des imprégnations sans PFAS en raison de la pression réglementaire croissante. Dans le but de répondre aux exigences de sécurité, seuls certains producteurs de textiles professionnels (EPI, santé ou lutte contre les incendies) utilisent encore des matériaux fluorés.

3.6. INDUSTRIES COSMÉTIQUES, PHARMACEUTIQUES ET PHYTOSANITAIRES

Les PFAS ont été et sont encore largement utilisés dans la fabrication de cosmétiques, de produits de soin et de produits phytosanitaires. Les analyses faites sur des crèmes solaires, des produits de manucure, des rouges à lèvres, des mascaras, des eyeliners, des poudres, des mousses à raser, des fonds de teint, des crèmes et du shampoing, des dentifrices, des crèmes et poudres dentaires, des pastilles, des comprimés, des médicaments, des biocides, et des gommes à mâcher ont révélé la présence de PFAS dans ces produits (Dasu et al., 2022; Gaines, 2023; Glüge et al., 2020; Harris et al., 2022; Keml, 2015; Pütz et al., 2022). De par leur grande activité de surface, leur stabilité thermique et chimique et leur imperméabilité à l'eau et à l'huile, les PFAS sont souvent utilisés comme émulsifiants, stabilisateurs, surfactants, composés antistatiques, régulateurs de viscosité dans les produits cosmétiques et pharmaceutiques (Peffly et al., 2004). Le Tableau 7 fait la synthèse des informations collectées sur les rejets en PFAS associées à ces industries.

Certaines formulations tendent à minimiser l'utilisation de PFAS mais leur utilisation semble toujours généralisée. Les industries cosmétiques et pharmaceutiques et la production de phytosanitaires peuvent donc être des sources directes d'émission en PFAS auxquels peuvent s'ajouter les rejets indirects dans l'eau et les sols lors de la consommation et l'utilisation de ces produits par leurs usagers. Ces rejets diffus pourraient affecter les profils des PFAS dans les milieux environnementaux. Cependant, à ce jour, peu d'études ont cherché à tracer les émissions de PFAS associés à la production et à l'utilisation des produits cosmétiques, pharmaceutiques et phytosanitaires.

Tableau 7 : Synthèse des informations sur les rejets en PFAS associés aux industries pharmaceutiques, cosmétiques et la production de pesticides.

	Cosmétiques et produits pharmaceutiques	Pesticides				
Produits utilisés	C ₄ à C ₁₄ PFCAs 6:2, 8:2 FTS	C ₄ à C ₁₀ PFAPAs				
	6:2, 8:2 FTOHs 6:2, 8:2 FTACs	6:6, 6:8, 8:8 PFPiAs				
	6:2, 8:2 et 10:2 PAPs 6:2/6:2 6:2/8:2, 8:2/8:2 diPAPs					
	6:2, 8:2 FTMACs					
Composés Eaux	Pas de données					
mesurés Sol/sédiments						
Air						
Caractéristiques spécifiques	Pas de données					
Références	(Dasu et al., 2022; Gaines, 2023; Glüge et al., 2020; Harris et al., 2022; KemI, 2015;					
	Pütz et al., 2022; Wang et al., 2016; Whitehead et al., 2	021)				

La France compte plusieurs sites de production de produits d'hygiènes, de cosmétiques, de produits pharmaceutiques et phytosanitaires. À ce jour, aucune information ne permet de dire si des PFAS ont été ou sont utilisés dans les procédés de fabrication. Cependant certaines molécules phytosanitaires (sulfluramide, fluazinam, flurochloridone, flutianil, isoxaflutole, penthiopyrad, pyroxsulam, tefluthrin, tembotrione, triflusulfuron methyl) ou vétérinaires (fipronil) sont des PFAS de par leur structure chimique. Le syndicat de l'industrie du médicament et diagnostic vétérinaire (SIMV) a d'ailleurs réagi en 2022 au processus de restriction des PFAS dans le cadre du dispositif européen REACH en précisant que les médicaments vétérinaires peuvent être impactés par ce processus de restriction puisque leur principe actif, certaines substances utilisées dans leur procédé de fabrication et leur emballage sont des PFAS (https://www.simv.org/actualites/interferences-entre-la-reglementation-reach-et-la-reglementation-europeenne-des).

3.7. AUTRES SOURCES

3.7.1. Autres usages domestiques et industriels

Les PFAS ont fait, et font l'objet, de bien d'autres usages domestiques et industriels. De multiples autres applications sont effectivement décrites dans les brevets et la littérature (Tableau 1, Gaines, 2023; Glüge *et al.*, 2020; Prevedouros *et al.*, 2006). Aujourd'hui, il est cependant difficile d'estimer les quantités de PFAS utilisées pour ces applications.

Les PFAS identifiés dans ces produits sont majoritairement des PFSAs et des PFCAs de 5 à 8 carbones, mais aussi le HPFO-DA, l'ADONA et le PFO₃OA (Bečanová *et al.*, 2016; Jacob *et al.*, 2021; Lee and Mabury, 2017; LLANO, 2015; Wang *et al.*, 2016; Ye *et al.*, 2015). Le PFECHS est utilisé dans les fluides hydrauliques dans l'aéronautique (De Silva *et al.*, 2011). L'origine des PFAS dans ces produits n'est pas toujours claire et peut être liée à un ajout délibéré, à la présence d'impuretés lors de la fabrication, à l'usage de produits secondaires contenant des PFAS, une pollution lors de l'utilisation ou le transport des produits. Ainsi, la majorité des PFAS utilisés pour ces applications se présente sous la forme de polymères à chaînes latérales ou de précurseurs dont les rejets lors de leur production, leur usage quotidien, ou leur traitement en tant que déchets peuvent avoir une signature chimique proche de celles des sources mentionnées précédemment. Il n'est donc pas toujours évident d'identifier l'origine de pollutions aux PFAS dans les zones où ces différentes activités sont exercées.

Ainsi, en France, des PFAS ont pu être, ou pourraient être utilisés dans d'autres secteurs : chimie (solvants, peintures, fluides hydrauliques, colles, vernis), industries du plastique et du caoutchouc, de l'électronique, ou fabrication de produits de consommation.

3.7.2. Cas des décharges et des STEP (sources indirectes)

Les décharges, qui traitent les déchets en vue de leur élimination par enfouissement ou incinération peuvent contenir des déchets provenant de différentes sources mentionnées précédemment qui peuvent libérer des PFAS dans l'environnement lors de leur décomposition (Bolan et al., 2021; Dasu et al., 2022). Il a été démontré que l'élimination de déchets de construction, de démolition, de produits commerciaux, et d'autres déchets contenant des PFAS entraîne la (bio)transformation de certains résidus/précurseurs des PFAS par le clivage des chaînes latérales des polymères fluorés, permettant la libération de PFAS à chaînes courtes (Berhanu et al., 2023; Dasu et al., 2022; Wang et al., 2014; Zhang et al., 2022). La lixiviation de ces décharges peut alors libérer des PFAS et constituer une source indirecte importante pour l'environnement. La présence de PFAS dans les lixiviats de ces décharges a d'ailleurs été mise en évidence un peu partout à travers le monde (Benskin et al., 2012b ; Bolan et al., 2021 ; Busch et al., 2010; Coffin et al., 2022; Dasu et al., 2022; Eggen et al., 2010; Fuertes et al., 2017; Gallen et al., 2017; Hamid et al., 2018; Hepburn et al., 2019; Huset et al., 2011; Knutsen et al., 2019 ; Lang et al., 2017 ; Liu and Avendaño, 2013 ; Masoner et al., 2020). Les composés dominants retrouvés dans ces lixiviats dépendent de l'origine des déchets qui s'y trouvent et de leur temps de stockage (Dasu et al., 2022). Cependant, les PFCAs et PFSAs à chaînes courtes (≤ C₄), le 5 :3 FTCA, les MeFASAAs et EtFASAAs produits par la (bio)dégradation de composés à chaînes plus longues sont généralement majoritaires puisqu'ils sont en bout de chaîne de dégradation de la plupart des substances poly et perfluorées connues à ce jour (Tableau A2).

Lors de l'utilisation et la production de nombreux produits de consommation (ex : produits pharmaceutiques, cosmétiques), les PFAS qu'ils contiennent peuvent finir par atteindre les STEP où ils ne sont pas toujours éliminés efficacement. Des PFAS peuvent alors être rejetés indirectement dans l'environnement dans les effluents ou sous forme d'épandages (boues) sur les sols agricoles (Dasu *et al.*, 2022; Hamid and Li, 2016; Venkatesan and Halden, 2013). Sans surprise, le PFOA, le PFNA, le PFOS et les FTSs sont prédominants dans les phases solides et liquides en sortie de STEP, mais les profils dépendent du type d'activité et des usages autour de la STEP (Dasu *et al.*, 2022).

4. Synthèse et conclusions : peut-on discriminer les sources d'émission directes en PFAS ?

Les substances PFAS présentes dans les processus de fabrication sont souvent des informations confidentielles difficiles à obtenir des fabricants. Or, la date d'interdiction de production de certaines substances ne correspond pas toujours à la date à laquelle une industrie a arrêté d'utiliser ces substances ni à la date à laquelle l'utilisation de ces mêmes substances ont été interdites (ex : PFOA, Figure 1). Remonter aux substances utilisées sur site n'est donc pas simple. De plus, chaque PFAS possède des propriétés physico-chimiques variables, ce qui nécessite de prendre en compte le transport et la transformation différentielle de ces composés sur l'évolution de la distribution globale de la signature chimique dans l'espace et le temps. Ainsi, une même source peut aboutir à différents profils chimiques en fonction du milieu échantillonné, de la distance par rapport à la source d'émission (biodégradation des précurseurs. Tableaux 2 à 6, Dasu et al., 2022; Schulz et al., 2020). Mieux connaître les mécanismes de transfert, d'évolution, de dégradation des PFAS et de leurs précurseurs est donc indispensable pour identifier l'origine des sources. La Figure 1 résume cette problématique en prenant l'exemple des PFCAs. Cette figure souligne donc bien que chaque substance est potentiellement à la fois une source de PFAS dans l'environnement et un produit de dégradation provenant d'autres sources. Cet exemple peut être généralisé à d'autres familles de substances poly et perfluorées telles que les PFSAs, les FTCAs, les FTS ou les FTOHs. D'où l'importance pour discriminer les sources de mieux identifier les précurseurs et leurs chemins de dégradation dans l'environnement.

Le Tableau A1 liste en Annexe l'ensemble des PFAS actuellement associés aux différentes sources majeures d'émission directe. Cette liste comprend les substances (PFAS et précurseurs) identifiées par la littérature lors de campagnes de surveillance ou de projets scientifiques (notées « x ») auxquelles ont été ajoutées les substances perfluorées qui n'ont pas été identifiées par ces études (car elles ne figuraient pas dans la liste des substances recherchées) mais dont la présence est probable puisqu'elles font actuellement partie des profils de dégradation ou des impuretés associées aux substances identifiées (notées « (x) »). Les profils de dégradation actuellement documentés sont listés dans le Tableau A2, en Annexe de ce rapport. Les Tableaux 8 et 9 synthétisent ces informations. On peut noter que les profils de dégradation de nombreuses substances ne sont pas encore documentés. Ce travail montre également que seules quelques sources directes d'émission sont suffisamment bien documentées à ce jour.

Tableau 8 : Nombre de PFAS actuellement associés aux sept sources majeures d'émission. Les substances dont la présence est probable sont les substances connues pour faire partie des impuretés ou des profils de dégradation des autres substances identifiées.

	Industries fluorochimiques	Mousses anti- incendie	Papeteries et emballage	Industries textiles	Industries du métal	Industries cosmétiques et pharmaceutiques	Industries agrochimiques
Substances dont la présence est probable	42	47	42	44	54	47	0
Substances dont la présence est avérée	93	113	76	63	32	25	7
Nombre substances totales associées	135	160	118	107	86	72	7

En l'état actuel des connaissances, certaines familles de PFAS semblent associées à un seul usage (Tableau 9, ex : FTSAms, FtTHNs, FTBs, FTOs, FTAAs etc.), mais probablement par manque de données car ces substances sont peu connues et donc encore peu recherchées et difficiles à analyser. Au contraire, les familles de substances les plus connues (ex : PFSAs, PFCAs, FTOH, FTS, FASAs...) sont celles qui sont le plus recherchées, on les trouve donc partout. De plus, ces substances bien connues sont aussi utilisées dans tous les secteurs et sont issues de la dégradation de presque toutes les autres familles de substances poly et perfluorées

(Tableau A2). En cas de sources d'émission multiples, ces substances ne peuvent donc pas permettre d'identifier l'activité à l'origine de leur émission. Cependant, la bibliographie disponible et cette synthèse se basent principalement à l'échelle de la famille de substances, alors que certaines substances pourraient être plus spécifiquement liées à un usage que leurs familles. Sur la base de ces résultats, des recherches complémentaires à l'échelle de la substance sont nécessaires sur ces nouvelles familles de composés poly et perfluorées (ex des FTBs, PFSaAms, CI-PFSAs, FtTHNs, FTMAPs, FTAAs, PFPAS etc.) afin de mieux comprendre leurs usages dans l'industrie et les autres sources auxquelles elles peuvent être associées.

Tableau 9 : Familles de PFAS retrouvées dans les rejets industriels et/ou utilisées par typologie d'application.

Classes de PFAS	Industries fluorochimiques	Mousses anti- incendie	Papeteries et emballage	Industries textiles	Industries du métal	Industries cosmétiques et pharmaceutiques	Industries agrochimiques
PFCA	Х	X	X	X	X	X	
PFSA	X	X	X	X	X		
Cl-PFSA		X					
PFECA	X						
PFESA	X				X		
Cl-PFECA	X						
Cl-PFESA	X				X		
PFUESA	X				X		
FASA	X	X	X	X			
FASE		X	X	X			
FASAA	X	X	X	X			
FTSAm		X					
FTA	X	X					
FTS	X	X	X	X	X	X	
FTOH	X	X	X	X	X	X	
FTO	X						
FTI	X	X					
FTCA	X	X	X	X	X	X	
FTUCA	X	X	X	X	X	X	
FTAC	X			X		X	
FTMAC	X			X		X	
FTB		X					
FTAB	X	X					
PFSaAm		X					
PFSaAmA		X					
FtTAoS, FtTAoS-SO2,		X					
FtTAoS-SO							
FtTHN		X					
FTAL	X	X	X	X	X	X	
FTUAL	X	X	X	X	X	X	
FTMAP			X				
FTAA		X					
PFAPA		X		X	X		X
PFPAS			X				
PFAI	X	X					
PFPiA		X		X	X		X
PFSiAs		X	X	X			
PAP, diPAP, triPAP				X		X	
SAmPAP, diSAmPAP,				X			
triSAmPAP							

Classes communes à 3 sources ou plus (non discriminantes)

Classes communes à 2 sources (discriminantes en association avec

d'autres sources)

Classes associées à une seule source (discriminantes)

Ainsi, compte tenu des données disponibles, nous pouvons conclure qu'une meilleure caractérisation des sources d'émission en PFAS et de leurs profils chimiques nécessite de mieux comprendre :

- l'historique de la fabrication, de l'utilisation et des dates d'interdiction de production et d'utilisation des PFAS propres à chaque secteur d'activité (les dates d'interdiction n'étant pas toujours claires avec l'existence de dérogations pour certains sous usages);
- les chemins de dégradation de la plupart des substances fluorées, et notamment des substances émergentes qui ne sont pas documentées ;
- les propriétés des différentes substances, facteurs conditionnant leur répartition dans les différents compartiments de l'environnement comme le sol et l'eau souterraine.

Annexe 1

Liste des substances poly et perfluorées et des sources d'émission auxquelles elles sont actuellement associées

Nom	Abréviation	CAS	Formule chimique	Masse molaire	Classe	Industries fluorochimiques	Mousses anti- incendie	Papeteries et emballage	Industries textiles	Industries du métal	Pharma et cosmétique	Industries agro chimiques
Trifluoroacétiqueacide	TFA	76-05-1	C ₂ HF ₃ O ₂	114	Acides	(x)	(x)	(x)	(x)	(x)	(x)	
Perfluoropropanoique acide	PFPrA	422-64-0	$C_3HF_5O_2$	164	carboxyliques	(x)	X	(x)	(x)	(x)	(x)	
Perfluorobutanoique acide	PFBA, HFBA	375-22-4	$C_4HF_7O_2$	214	poly- et perfluorés	X	X	x	x	x	X	
Perfluoropentanoique acide	PFPA, PFPeA	2706-90-3	$C_5HF_9O_2$	264	(PFCA)	X	X	x	x	x	X	
Perfluorohexanoique acide	PFHxA	307-24-4	$C_6HF_{11}O_2$	314		X	X	x	x	x	X	
Perfluoroheptanoique acide	PFHpA	375-85-9	$C_7HF_{13}O_2$	364		X	X	x	x	x	X	
Perfluorooctanoique acide	PFOA	335-67-1	$C_8HF_{15}O_2$	414		X	X	x	x	x	X	
Perfluorononanoique acide	PFNA	375-95-1	$C_9HF_{17}O_2$	464		X	X	x	x	x x	X	
Perfluorodecanoique acide	PFDA; PFDeA	335-76-2	$C_{10}HF_{19}O_2$	514		X	X	x	x	x	X	
Perfluoroundecanoique acide	PFUnA; PFUnDA	2058-94-8	$C_{11}HF_{21}O_2$	564		X	X	X	x	x	x	
Perfluorododecanoique acide	PFDoA	307-55-1	$C_{12}HF_{23}O_2$	614		X	X	X	x	x	x	
Perfluorotridecanoique acide	PFTrDA; PFTriA	72629-94-8	$C_{13}HF_{25}O_2$	664		X	X	x	x	x	X	
Perfluorotetradecanoique acide	PFTeA; PFTeDA	376-06-7	$C_{14}HF_{27}O_2$	714		X	X	x	x	x	X	
Perfluoropentadecanoique acide	PFPeDA	141074-63-7	$C_{15}HF_{29}O_2$	764		(x)	X	X	(x)	(x)	(x)	
Perfluorohexadecanoique acide	PFHxDA	67905-19-5	$C_{16}HF_{31}O_2$	813,9		(x)	X	(x)	(x)	(x)	(x)	
Perfluorooctadecanoique acide	PFOcDA	16517-11-6	$C_{18}HF_{35}O_2$	913,9		(x)	X	(x)	(x)	(x)	(x)	
Trifluoromethane sulfonique acide	TFMS	1493-13-6	CHF ₃ O ₃ S	150								
Perfluoro-3,7-dimethyl acide	PF-3,7-DMOA	172155-07-6	$C_{10}HF_{19}O_2$	514.08								
Perfluorocyclohexanoique acide	PFCyHxA	374-88-9	$C_7HF_{11}O_2$	326								
7H-Perfluoroheptanoique acide	7H PFHPA; HPFHpA	1546-95-8	$C_7H_2F_{12}O_2$	346								
5H-Perfluoropentanoique acide	5H PFPA	376-72-7	$C_5H_2F_8O_2$	246								
9H-Perfluorononanoique acide	9H PFNA	76-21-1	$C_9H_2F_{16}O_2$	446								
11H-Perfluoroundecanoique acide	11H PFUnDA	1765-48-6	$C_{11}H_2F_{20}O_2$	546								
Perfluoroethane sulfonique acide	PFEtS	354-88-1	C ₂ HF ₅ O ₃ S	200	Acides	(x)	(x)	(x)	(x)	(x)	•	-
Perfluoropropane sulfonique acide	PFPrS	423-41-6	$C_3HF_7O_3S$	250	sulfoniques poly et	X	(x)	(x)	(x)	(x)		
Perfluorobutane sulfonique acide	PFBS	375-73-5	C ₄ HF ₉ O ₃ S	300	perfluorés (PFSA)	X	X	x	x	x		
Perfluoropentane sulfonique acide	PFPeS	2706-91-4	$C_5HF_{11}O_3S$	349,9		X	X	x	x	x		
Perfluorohexane sulfonique acide	PFHxS	355-46-4	$C_6HF_{13}O_3S$	399,9		X	X	x	x	x		
Perfluoroheptane sulfonique acide	PFHpS	375-92-8	$C_7HF_{15}O_3S$	449,9		X	X	x	x	x		
Perfluorooctane sulfonique acide	PFOS	1763-23-1	$C_8HF_{17}O_3S$	499,9		X	X	x	x	x		
Perfluorononane sulfonique acide	PFNS	68259-12-1	$C_9HF_{19}O_3S$	549,9		x	X	x	x	x		
Perfluorodecane sulfonique acide	PFDS, PFDeS	335-77-3	$C_{10}HF_{21}O_3S$	599,9		X	X	x	x	x		
Perfluoroundecane sulfonique acide	PFUnDS	749786-16-1	$C_{11}HF_{23}O_3S$	649,9		x	X	x	x	x		
Perfluorododecane sulfonique acide	PFDoS	79780-39-5	$C_{12}HF_{25}O_3S$	699,9		x	(x)	(x)	(x)	(x)		
Perfluorotridecane sulfonique acide	PFTrDS	791563-89-8	$C_{13}HF_{27}O_3S$	749,9		X	(x)	(x)	(x)	(x)		

Nom	Abréviation	CAS	Formule chimique	Masse molaire	Classe	Industries fluorochimiques	Mousses anti- incendie	Papeteries et emballage	Industries textiles	Industries du métal	Pharma et cosmétique	Industries agro chimiques
Chloro-Perfluorobutane sulfonique acide (Cl-PFSA)	CL-PFBS		C ₄ HO ₃ SClF ₈	314,9	Acides sulfoniques poly		x					
Chloro-Perfluoropentane sulfonique acide	CL-PFPeS		C5HO3SClF10	364,9	et perfluorés		x					
Chloro-Perfluorohexane sulfonique acide	Cl-PFHxS		C ₆ HO ₃ SClF ₁₂	414,9	chlorés (Cl-		X					
8-Chloroperfluoro-1-octanesulfonique acide	Cl-PFOS	777011-38-8	C ₈ HO ₃ SClF ₁₆	598,9	PFSA)		x					
Hexafluoropropylene oxide dimer acide (Gen X)	HFPO-DA (Gen X), PFPrOPrA	13252-13-6	C ₆ HF ₁₁ O ₃	330	Acides carboxyliques	х	·	-	<u> </u>	•	•	
Hexafluoropropylene oxyde trimer acide	HFPO-TA, HFPO-TeA	13252-14-7	$C_9HF_{17}O_4$	496	poly et perfluorés	X						
4,8-Dioxa-3H-perfluorononanoique acide (ADONA)	DONA; ADONA	919005-14-4	$C_7H_2F_{12}O_4$	378	alkyl éthers (PFECA)	X						
Perfluoro([5-methoxy-1,3-dioxolan-4-yl]oxy) acétique acide	C_6O_4	1190931-41-9	C ₆ HF9O6	340		X						
Perfluoro(3,6-dioxaoctanoique acide)	EEA	80153-82-8	$C_6HF_{11}O_4$	346		X						
Perfluoro-3-methoxypropanoique acide	PFMPA PFMOPrA	377-73-1	C ₄ HF ₇ O ₃	230		X						
Perfluoro-3,6-dioxaheptanoique acide	NFDHA PFDHA	151772-58-6	C5HF9O4	296		X						
Perfluoro(4-methoxybutanoique) acide	PFMBA; PF5OHxA, PFMOBA	863090-89-5	C ₅ HF ₉ O ₃	280		x						
Perfluoro-2-methoxyacétiqueacid	PFMOAA	674-13-5	C ₃ HF ₅ O ₃	180		X						
perfluoro-(3,5-dioxahexanoique) acide	PFO2HxA	39492-88-1	C ₄ HF ₇ O ₄	246		X						
perfluoro(3,5,7-trioxaoctanoique)acide	PFO3OA	39492-89-2	C5HF9O5	312		X						
perfluoro(3,5,7,9-tetraoxadecanoique)acide	PFO4DA	39492-90-5	$C_6HF_{11}O_6$	378		X						
perfluoro-3,5,7,9,11-pentaoxadodecanoique acide	PFO5DoDA	39492-91-6	$C_7HF_{13}O_7$	444		x						
Methyl 2,3,3,3-tetrafluoro-2- (heptafluoropropoxy)propionate	HFPO-DA méthyl ester	13140-34-6	$C_7H_3F_{11}O_3$	344		X						
Perfluoro(2,5-dimethyl-3,6-dioxanonanoyl) fluoride	HFPO-TrA	2641-34-1	$C_9F_{18}O_3$	498,1		X						
Perfluoro-4-ethylcyclohexane sulfonique acide	PFECHS	646-83-3	C ₈ HF ₁₅ O ₃ S	461,9	Acides	X				X		
Perfluoro(2-ethoxyethane)sulfonique acide	PFEESA	113507-82-7	C4HF9O4S	315,9	sulfoniques poly	X				X		
Perfluoro-3,6-dioxa-4-methyl-7-octenesulfonique acide	PFESA BP 1	29311-67-9	$C_7HF_{13}O_5S$	443,9	et perfluorés alkyl éthers	X				X		
6:2 hydrogène-acide) polyfluoroalkyle éther sulfonate	1H-6:2 PFESA				(PFESA)	(x)				X		
6:2 hydrogène-substitué polyfluoroalkyle éther sulfonate	2H-6:2 PFESA					(x)				(x)		
8:2 hydrogène-substitué polyfluoroalkyle éther sulfonate	1H-8:2 PFESA					(x)				X		

Nom	Abréviation	CAS	Formule chimique	Masse molaire	Classe	Industries fluorochimiques	Mousses anti- incendie	Papeteries et emballage	Industries textiles	Industries du métal	Pharma et cosmétique	Industries agro
												chimiques
6:2 Insaturé polyfluoroalkyle éther sulfonate	6:2 PFUESA				Acides sulfoniques poly et perfluorés alkyl éthers	(x)				(x)		
6 :2 Insaturé hydrogène-acide) polyfluoroalkyle éther sulfonate	1H-6:2 PFUESA				insaturés (PFUESA)	(x)				(x)		
8 :2 Insaturé hydrogène»-acide)	1H-8:2 PFUESA				insutures (11 OES/1)	(x)				(x)		
polyfluoroalkyle éther sulfonate	111-6.2 11 OLSA					(A)				(A)		
Chloro-perfluoroethercarboxylate mixture	Cl-PFECA; ADV	329238-24-6	•	•	Acides carboxyliques	X	•	•		•		
2-Chloro-perfluoroethercarboxylate congénère	2-CIPFPECA 0,1	948590-83-8	C8HClF14O4	461,9	poly et perfluorés alkyl	X						
0,1	-,			- ,-	éthers chlorés (Cl-							
2-Chloro-perfluoroethercarboxylate congénère	2-CIPFPECA 0,2		C ₁₁ HClF ₂₀ O ₄	611,9	PFECA)	X						
0,2												
2-Chloro-perfluoroethercarboxylate congénère	2-CIPFPECA 0,3		$C_{14}HClF_{26}O_4$	761,9		X						
0,3												
2-Chloro-perfluoroethercarboxylate congénère	2-CIPFPECA 0,4		$C_{17}HClF_{32}O_4$	911,9		X						
0,4												
2-Chloro-perfluoroethercarboxylate congénère	2-CIPFPECA 1,1	2490185-89-0	$C_{10}HClF_{18}O_5$	577,9		X						
1,1 2-Chloro-perfluoroethercarboxylate congénère	2-CIPFPECA 1,2		C HCE O	727.0								
2-Chioro-permuoroethercarboxylate congenere	2-CIPFPECA 1,2		C ₁₃ HClF ₂₄ O ₅	727,9		X						
9-chlorohexadecafluoro-3-oxanonane-1-	6:2 Cl-PFESA	756426-58-1	C ₈ HClF ₁₆ O ₄ S	531,9	Acides sulfoniques poly	· v	•	-	•	X		
sulfonique acide, F53B	0.2 CI-I I L5/1	730420-30-1	C811CH 16O45	331,7	et perfluorés alkyl éthers	A				Λ		
11-chloroeicosafluoro-3-oxaundecane-1-	8:2 Cl-PFESA	763051-92-9	C ₁₀ HClF ₂₀ O ₄ S	631,9	chlorés (Cl-PFESA)	X				x		
sulfonique acide, F53B	V		-10	,	,					-		
Perfluorobutane sulfonamide	FBSA, PFBSA	30334-69-1	C ₄ H ₂ F ₉ NO ₂ S	299	Sulfonamides poly- et		X	X	X			
Perfluoropentane sulfonamide	FPeSA	82765-76-2	$C_5H_2F_{11}NO_2S$	349	perfluoroalkylées		x	x	x			
Perfluorohexane sulfonamide	FHxSA	41997-13-1	$C_6H_2F_{13}NO_2S$	399	(FASA)	X	X	x	x			
Perfluoroheptane sulfonamide	FHpSA	82765-77-3	$C_7H_2F_{15}NO_2S$	449			X	x	x			
Perfluoroctane sulfonamide	FOSA, PFOSA	754-91-6	$C_8H_2F_{17}NO_2S$	499		X	x	x	x			
Perfluorodecane sulfonamide	FDSA	4262-70-8	$C_{10}H_2F_{21}NO_2S$	598,9								
N-Méthyl-n-perfluorobutane sulfonamide	MeFBSA	68298-12-4	$C_5H_4F_9NO_2S$	313,1			X	x	X			
N-Méthyl-n-perfluoropentane sulfonamide	MeFPeSA	68298-13-5	$C_6H_4F_{11}NO_2S$	363,1								
N-Méthyl-n-perfluorohexane sulfonamide	MeFHxSA	68259-15-4	$C_7H_4F_{13}NO_2S$	413,2								
N-Méthyl-n-perfluoroheptane sulfonamide,	MeFHpSA	68259-14-3	$C_8H_4F_{15}NO_2S$	463,2				X	X			
N-Méthyl-perfluorooctane sulfonamide	MeFOSA	31506-32-8	$C_9H_4F_{17}NO_2S$	513		X	X	x	X			
N-ethyl-perfluorobutane-1-sulfonamide	EtFBSA	40630-67-9	$C_6H_6F_9NO_2S$	327,2			X	x	X			
N-Ethyle perfluoropentane sulfonamide	EtFPeSA	162682-16-8	$C_7H_6F_{11}NO_2S$	377								
N-Ethyle perfluorohexane sulfonamide	EtFHxSA	87988-56-5	$C_8H_6F_{13}NO_2S$	426,8								
N-Ethyle perfluoroheptane sulfonamide	EtFHpSA	68957-62-0	$C_9H_6F_{15}NO_2S$	476,6								
N-Ethyle-perfluorooctane sulfonamide	EtFOSA	4151-50-2	$C_{10}H_{6}F_{17}NO_{2}S\\$	527			X	x	X			
N-Méthyl-n-perfluorobutyle sulfonyle glycine	MeFBSAA	159381-10-9	$C_7H_6F_9NO_4S$	371				x	X			
N,N-Diméthyle-n-perfluorooctane sulfonamide	N-Me ₂ FOSA	213181-78-3	$C_{10}H_6F_{17}NO_2S$	527				X	X			

Nom	Abréviation	CAS	Formule chimique	Masse molaire	Classe	Industries fluorochimiques	Mousses anti- incendie	Papeteries et emballage	Industries textiles	Industries du métal	Pharma et cosmétique	Industries agro chimiques
1,1,2,2,3,3,4,4,4-nonafluoro-N-(2-hydroxyethyl)-1- butane sulfonamide	FBSE	34454-99-4	C ₆ H ₆ F ₉ NO ₃ S	343,2	Perfluoroalcanes sulfonamides éthanols							•
1,1,2,2,3,3,4,4,5,5,5-undecafluoro-N- (2-hydroxyéthyle)pentane-1- sulfonamide	FPeSE		$C_7H_6F_{11}NO_3S$	393,2	(FASE)							
1,1,2,2,3,3,4,4,5,5,6,6,6- tridecafluoro-N-(2-hydroxyethyl)-1- hexane sulfonamide	FHxSE	106443-63-4	$C_8H_6F_{13}NO_3S\\$	443,2								
1,1,2,2,3,3,4,4,5,5,6,6,7,7,7-pentadecafluoro-N-(2-hydroxyethyl)-1-heptane sulfonamide	FHpSE	167398-54-1	$C_9H_6F_{15}NO_3S$	493,2								
1,1,2,2,3,3,4,4,5,5,6,6,7,7,8,8,8-heptadecafluoro-N-(2-hydroxyethyl)-1-octane sulfonamide	FOSE	10116-92-4	$C_{10}H_{6}F_{17}NO_{3}S \\$	543,2			x	x	X			
1,1,2,2,3,3,4,4,4-nonafluoro-N-(2-hydroxyethyl)-N-methyl-1-butane sulfonamide	MeFBSE	34454-97-2	C7H8F9NO3S	357,2			x	x	X			
1,1,2,2,3,3,4,4,5,5,5-undecafluoro-N-(2-hydroxyethyl)-N-methyl-1-pentane sulfonamide	MeFPeSE	68555-74-8	$C_8H_8F_{11}NO_3S$	407,2			X	x	X			
1,1,2,2,3,3,4,4,5,5,6,6,6-tridecafluoro-N-(2-hydroxyethyl)-N-methyl-1-hexane sulfonamide	MeFHxSE	68555-75-9	$C_9H_8F_{13}NO_3S$	457,2			x	X	X			
1,1,2,2,3,3,4,4,5,5,6,6,7,7,7-pentadecafluoro-N-(2-hydroxyethyl)-N-methyl-1-heptane sulfonamide	MeFHpSE	68555-76-0	$C_{10}H_{8}F_{15}NO_{3}S \\$	507,2			x	x	X			
N-Méthyl-N-(2-hydroxyethyl)perfluorooctane sulfonamide	MeFOSE	24448-09-7	$C_{11}H_8F_{17}NO_3S$	557			x	X	X			
1,1,2,2,3,3,4,4,4-nonafluoro-N-(2-hydroxyethyl)-N-methyl-1-butane sulfonamide	EtFBSE	34454-97-2	C7H8F9NO3S	357,2			x	x	X			
1,1,2,2,3,3,4,4,5,5,5-undecafluoro-N-(2-hydroxyethyl)-N-methyl-1-pentane sulfonamide	EtFPeSE	68555-74-8	$C_8H_8F_{11}NO_3S$	407,2								
1,1,2,2,3,3,4,4,5,5,6,6,6-tridecafluoro-N-(2-hydroxyethyl)-N-methyl-1-hexane sulfonamide	EtFHxSE	68555-75-9	$C_9H_8F_{13}NO_3S$	457,2								
1,1,2,2,3,3,4,4,5,5,6,6,7,7,7- pentadecafluoro-N-(2-hydroxyethyl)-N-methyl-1-heptanesulfonamide	EtFHpSE	68555-76-0	$C_{10}H_{8}F_{15}NO_{3}S \\$	507,2								
1,1,2,2,3,3,4,4,5,5,6,6,7,7,8,8,8- heptadecafluoro-N-(2-hydroxyethyl)-N-methyloctane-1- sulfonamide	EtFOSE	1691-99-2	$C_{12}H_{10}F_{17}NO_{3}S \\$	571			x	X	X			
Perfluoro-1-octanesulfonamidoacétiqueacide	FOSAA	2806-24-8	C ₁₀ H ₄ F ₁₇ NO ₄ S	557	Acides acétiques	X	X	Х	x	•	-	•
2-(N-Méthyl perfluorooctane sulfonamide)acétique acide	MeFOSAA	2355-31-9	$C_{11}H_6F_{17}NO_4S$	571	perfluoroalcanes sulfonamides (FASAA)	(x)	X	X	x			
2-(N-Ethyle perfluorooctane sulfonamide)acétique acide	EtFOSAA	2991-50-6	$C_{12}H_8F_{17}NO_4S$	585		(x)	x	X	X			
1-Propanaminium, N,N-dimethyl-N-oxide-3- [[(3,3,4,4,5,5,6,6,7,7,8,8,8-tridecafluorooctyl)sulfonyl] amino]-hydroxyde	DPOSA Capstone 1183A	80475-32-7	$C_{13}H_{17}F_{13}N_2O_3S$	528,1	Fluorotélomères sulfonamides (FTSAm)		X					
6:2 Fluorotélomère sulfonamide N,N-diméthyle amine	6:2 FTA	1383438-86-5	C ₁₃ H ₁₈ F ₁₃ N ₂ O ₂ S	513.3	Fluorotélomères	X	X					
8:2 Fluorotélomère sulfonamide N,N-diméthyle amine	8:2 FTA				sulfonamides amides (FTA, FTSaAm)	(x)	(x)					

Nom	Abréviation	CAS	Formule chimique	Masse molaire	Classe	Industries fluorochimiques	Mousses anti-incendie	Papeteries et emballage	Industries textiles	Industries du métal	Pharma et cosmétique	Industries agro chimiques
1H,1H,2H,2H-perfluorohexanesulfonate	4:2 FTS	757124-72-4	$C_6H_5F_9O_3S$	328	Fluorotélomères	(x)	X	X	(x)	(x)	(x)	
1H,1H,2H,2H-perfluorooctanesulfonate	6:2 FTS	27619-97-2	$C_8H_5F_{13}O_3S$	428	sulfonates (FTS)	X	X	X	X	X	X	
1H,1H,2H,2H-perfluorodecanesulfonate	8:2 FTS	39108-34-4	$C_{10}H_5F_{17}O_3S$	528		X	X	X	x	X	X	
1H,1H,2H,2H-perfluorododecanesulfonate	10:2 FTS	120226-60-0	$C_{12}H_5F_{21}O_3S$	628		X	X	X	x	X		
12:2 Fluorotélomère sulfonique acide	12:2 FTS	1034143-66-2	$C_{13}H_5F_{23}O_3S$	678,2		(x)	X	X		(x)	(x)	
14:2 Fluorotélomère sulfonique acide	14:2 FTS	1513864-08-8	$C_{23}H_{18}F_{29}NO_4S_2$	987,5		(x)	X	(x)	(x)	(x)	(x)	
2-perfluorobutyl éthanol (4:2)	4:2 FTOH; FBET	2043-47-2	C ₆ H ₅ F ₉ O	264	Fluorotélomères	X	(x)	(x)	(x)	(x)	(x)	
1-perfluoropentyl éthanol (5:2 s)	5:2sFTOH	914637-05-1	$C_7H_5F_{11}O$	314	d'alcools (FTOH)	(x)	(x)	(x)	(x)	(x)	(x)	
2-perfluorohexyl éthanol (6:2)	6:2 FTOH; FHET	647-42-7	$C_8H_5F_{13}O$	364		X	(x)	X	X	(x)	X	
1-perfluoroheptyl éthanol (7:2 s)	7:2sFTOH	24015-83-6	$C_9H_5F_{15}O$	414		(x)	(x)	(x)	(x)	(x)	(x)	
2-perfluorooctyl éthanol (8:2)	8:2 FTOH FOET	678-39-7	$C_{10}H_5F_{17}O$	464		X	(x)	X	X	(x)	X	
2-pefluorodecyl éthanol (10:2)	10:2 FTOH; FDET	865-86-1	$C_{12}H_5F_{21}O$	564		X	(x)	(x)	(x)	(x)	(x)	
2-perfluorodecyl éthanol (12:2)	12:2 FTOH	39239-77-5	$C_{14}H_5F_{25}O$	664		X	(x)	(x)	(x)	(x)	(x)	
2-perfluorodecyl éthanol (14:2)	14:2 FTOH	60699-51-6	$C_{16}H_5F_{29}O$	764		(x)	(x)	(x)	(x)	(x)	(x)	
2,2-difluoropropan-1-ol	2:1 FTOH	33420-52-9	$C_3H_6F_2O$	96								
2,2,3,3,3-pentafluoropropan-1-ol	1:2 FTOH	2240-88-2	$C_3H_5F_3O$	114								
3,3,3-trifluoropropan-1-ol	2:1 FTOH	422-05-9	$C_3H_3F_5O$	150								
1H,1H,2H,2H,3H,3H-Perfluorobutan-1-ol	1:3 FTOH	461-18-7	$C_4H_7F_3O$	128								
1H,1H-Perfluorobutan-1-ol	3:1 FTOH	375-01-9	$C_4H_3F_7O$	200								
1H,1H,2H,2H-Perfluorobutan-1-ol	2:2 FTOH	54949-74-5	$C_4H_5F_5O$	164								
1H,1H,5H-Perfluoropentan-1-ol	5H 4:1 FTOH	355-80-6	$C_5H_4F_8O$	232		(x)	(x)	(x)	(x)	(x)	(x)	
1H,1H,2H,2H,3H,3H-Perfluorohexan-1-ol	3:3 FTOH	679-02-7	C ₆ H ₇ F ₇ O	228								
1H,1H-Perfluorohexan-1-ol	5:1 FTOH	423-46-1	$C_6H_3F_{11}O$	300								
1H,1H,7H-Perfluoroheptan-1-ol	7H 6:1 FTOH	335-99-9	$C_7H_4F_{12}O$	332								
1H,1H-Perfluoroheptan-1-ol	6:1 FTOH	375-82-6	$C_7H_3F_{13}O$	350								
1H,1H,8H-Perfluorooctan-1-ol	8H 7:1 FTOH	10331-08-5	$C_8H_4F_{14}O$	382								
1H,1H-Perfluorooctan-1-ol	7:1 FTOH	307-30-2	$C_8H_3F_{15}O$	400		(x)	(x)	(x)	(x)	(x)	(x)	
1H,1H,2H,2H,3H,3H-Perfluorononan-1-ol	6:3 FTOH	80806-68-4	$C_9H_7F_{13}O$	378								
1H,1H,2H,2H-Perfluoro-7-methyloctan-1-ol	7Me 6:1 FTOH	20015-46-7	$C_9H_5F_{15}O$	414								
1H,1H,9H-Perfluorononan-1-ol	9H 8:1 FTOH	376-18-1	$C_9H_4F_{16}O$	432								
1H,1H-Perfluorononan-1-ol	8:1 FTOH	423-56-3	$C_9H_3F_{17}O$	450								
1H,1H,10H,10H-Perfluoro-1,10-decanediol	1:8:1 FTdiOH	754-96-1	$C_{10}H_6F_{16}O_2$	462								
1H,1H-Perfluorodecan-1-ol	9:1 FTOH	307-37-9	$C_{10}H_3F_{19}O$	500								
1H,1H-Perfluoro-3,7-dimethyloctan-1-ol	3,7-DiMe 7:1 FTOH	232587-50-7	$C_{10}H_3F_{19}O$	500								
1H,1H,2H,2H-Perfluoro-9-methyldecan-1-ol	9Me 8:2 FTOH	31200-98-3	$C_{11}H_5F_{19}O$	514								
1H,1H,11H-Perfluoroundecan-1-ol	11H 10:1 FTOH	307-70-0	$C_{11}H_4F_{20}O$	532								
1H,1H-Perfluoroundecan-1-ol	10:1 FTOH	307-46-0	$C_{11}H_3F_{21}O$	550								
1H,1H,13H-Perfluorotridecan-1-ol	13H 12:1 FTOH	423-72-3	C ₁₃ H ₄ F ₂₄ O	632								
1H,1H-Perfluorotetradecan-1-ol	13:1 FTOH	15622-57-8	C ₁₄ H ₃ F ₂₇ O	700								
1H,1H-Perfluorohexadecan-1-ol	15:1 FTOH	216144-94-4	$C_{16}H_3F_{31}O$	800								
1H,1H-Perfluorooctadecan-1-ol	17:1 FTOH	242142-82-1	C ₁₈ H ₃ F ₃₅ O	900								

Nom	Abréviation	CAS	Formule chimique	Masse molaire	Classe	Industries fluorochimiques	Mousses anti- incendie	Papeteries et emballage	Industries textiles	Industries du métal	Pharma et cosmétique	Industries agro chimiques
4:2 Fluorotélomère oléfine	4 :2 FTO	19430-93-4	C ₆ F ₉ H ₃	246,1	Fluorotélomères	X						
6:2 Fluorotélomère oléfine	6 :2 FTO	25291-17-2	$C_8F_{13}H_3$	346,1	d'oléfines (FTO)	X						
8:2 Fluorotélomère oléfine	8 :2 FTO	21652-58-4	$C_{10}F_{17}H_3$	446,1		X						
10:2 Fluorotélomère oléfine	10 :2 FTO	30389-25-4	$C_{12}F_{21}H_3$	546,1		X						
12:2 Fluorotélomère oléfine	12 :2 FTO	67103-05-3	C ₁₄ F25H ₃	646,1		X						
4:2 Fluorotélomère iodide	4:2 FTI	2043-55-2	C ₆ H ₄ F ₉ I	373,9	Fluorotélomères	X	X	<u>-</u>	<u> </u>	•	-	
6:2 Fluorotélomère iodide	6:2 FTI	2043-57-4	$C_8H_4F_{13}I$	473,9	d'iodures (FTI)	X	X					
8:2 fluorotélomère iodide	8:2 FTI	2043-53-0	$C_{10}H_4F_{17}I$	573,9		X	x					
10:2 fluorotélomère iodide	10:2 FTI	2043-54-1	$C_{12}H_4F_{21}I$	673,9		X	(x)					
3,3,4,4,5,5,6,6,6-nonafluoro-hexanoique acide	4:2 FTCA	70887-89-7	C ₆ H ₃ F ₉ O ₂	278	Fluorotélomères	(x)	(x)	(x)	(x)	(x)	(x)	
3,3,4,4,5,5,6,6,7,7,8,8,8- tridecafluorooctanoique acide	6:2 FTCA	53826-12-3	$C_8H_3F_{13}O_2$	378	d'acides	x	x	x	(x)	(x)	(x)	
3,3,4,4,5,5,6,6,7,7,8,8,9,9,10,10,10- heptadecafluorodecanoique acide	8:2 FTCA	27854-31-5	$C_{10}H_3F_{17}O_2$	478	carboxyliques (FTCA)	X	X	x	(x)	(x)	(x)	
3,3,4,4,5,5,6,6,7,7,8,8,9,9,10,10,11, 11,12,12,12- henicosafluorododecanoique acide	10:2 FTCA	53826-13-4	$C_{12}H_3F_{21}O_2$	578		X	x	X	(x)	(x)	(x)	
3,3,4,4,5,5,6,6,7,7,8,8,9,9,10,10,11, 11,12,12,13,13,14,14,14- pentacosafluorotetradecanoique acide	12:2 FTCA	70887-93-3	$C_{14}H_3F_{25}O_2$	678		(x)	(x)	(x)	(x)	(x)	(x)	
2H,2H,3H,3H-Perfluorohexanoique acide	3:3 FTCA	356-02-5	C ₆ H ₅ F ₇ O ₂	242		(x)	(x)	(x)	(x)	(x)	(x)	
2H,2H,3H,3H-Perfluorooctanoique acide	5:3 FTCA	914637-49-3	C ₈ H ₅ F ₁₁ O ₂	342		(x)	(x)	X	(x)	(x)	(x)	
2H,2H,3H,3H-Perfluorononanoique acide	6:3 FTCA	27854-30-4	C9H5F13O2	392		(x)	(x)	(x)	(x)	(x)	(x)	
2H,2H,3H,3H-Perfluorodecanoique acide	7:3 FTCA	812-70-4	$C_{10}H_5F_{15}O_2$	442		(x)	(x)	(x)	(x)	(x)	(x)	
2H,2H,3H,3H-Perfluoroundecanoique acide	8:3 FTCA	34598-33-9	C ₁₁ H ₅ F ₁₇ O ₂	492		(x)	(x)	(x)	(x)	(x)	(x)	
3,4,4,5,5,6,6,6-octafluorohex-2-enoique acide	4:2 FTUCA	70887-90-0	C ₆ H ₂ F ₈ O ₂	258	Fluorotélomères	(x)	(x)	(x)	(x)	(x)	(x)	
(2E)-4,4,5,5,6,6,7,7,8,8,8-Undecafluorooct-2-enoique acide	5:3 FTUCA	875878-70-9	$C_8H_3F_{11}O_2$	340,1	d'acides	(x)	(x)	(x)	(x)	(x)	(x)	
3,4,4,5,5,6,6,7,7,8,8,8-dodecafluorooct-2-enoique acide	6:2 FTUCA	70887-88-6	C ₈ H ₂ F ₁₂ O ₂	358	carboxyliques	X	X	X	X	(x)	(x)	
3,4,4,5,5,6,6,7,7,8,8,9,9,10,10,10- hexadecafluorodec-2- enoique acide	8:2 FTUCA	70887-84-2	$C_{10}H_2F_{16}O_2$	458	insaturés (FTUCA)	X	(x)	x	X	(x)	(x)	
3,4,4,5,5,6,6,7,7,8,8,9,9,10,10,11, 11,12,12,12- icosafluorododec-2-enoique acide	10:2 FTUCA	70887-94-4	$C_{12}H_{2}F_{20}O_{2} \\$	558		X	(x)	(x)	X	(x)	(x)	
3,4,4,5,5,6,6,7,7,8,8,9,9,10,10,11,11,12,12,13,13,14,14,14 - tetracosafluorotetradec-2-enoique acide	12:2 FTUCA	70887-95-5	$C_{14}H_2F_{24}O_2$	658		(x)	(x)	(x)	(x)	(x)	(x)	
2H,3H-Perfluoro-2-hexenoique acide	3:3 FTUCA	37759-76-5	$C_6H_3F_7O_2$	240		(x)	(x)	(x)	(x)	(x)	(x)	
1H,1H,2H,2H-Perfluorooctyl acrylate	6:2 FTAC	17527-29-6	$C_{11}H_7F_{13}O_2$	418	Fluorotélomères	X			X		x	
1H,1H,2H,2H-perfluorodecyl acrylate	8:2 FTAC	27905-45-9	$C_{13}H_7F_{17}O_2$	518	acrylates (FTAC)	X			X		X	
1H,1H,2H,2H-perfluorododecyl acrylate	10:2 FTAC	17741-60-5	$C_{15}H_7F_{21}O_2$	618		X			X		(x)	
1H,1H,2H,2H-Perfluoro-n-octyl méthacrylate	6:2 FTMAC	2144-53-8	$C_{12}H_9F_{13}O_2$	432	Fluorotélomères	X			X		X	
1H,1H,2H,2H-Perfluoro-n-decyl méthacrylate	8:2 FTMAC	1996-88-9	C14H9F17O ₂	532	méthacrylates	X			X		X	
1H,1H,2H,2H-Perfluoro-n-dodecyl méthacrylate	10:2 FTMAC	2144-54-9	C ₁₆ H ₉ F ₂₁ O ₂	632	(FTMAC)	X			X		(x)	
1H,1H,2H,2H-perfluorodecyl acétate	8:2 FTOAc	37858-04-1	C ₁₂ H ₇ F ₁₇ O ₂	506	Fluorotélomères							
1H,1H,2H,2H-perfluorododecyl acétate	10:2 FTOAc	37858-05-2	$C_{14}H_{7}F_{21}O_{2}$	606	acétates (FTOAc)							

N.	A1 / ' /'	CAC	г 1		CI	T 1 4 1		D (' (T 1 4 1	T 1	DI (T 1
Nom	Abréviation	CAS	Formule chimique	Masse molaire	Classe	Industries fluorochimiques	Mousses anti- incendie	Papeteries et emballage	industries textiles	Industries du métal	Pharma et cosmétique	Industries agro chimiques
2-[(4,4,5,5,6,6,7,7,8,8,8-Undecafluorooctyl)dimethyl-ammonio]acetate	5:3FTB	171184-14-8	C ₁₂ H ₁₄ F ₁₁ NO ₂	413,1	Fluorotélomères		X					•
2-[(3,4,4,5,5,6,6,7,7,8,8,8-Dodecafluorooctyl)diméthyle- ammonio]acétate	5:1:2FTB	145441-31-2	$C_{12}H_{13}F_{12}NO_{2} \\$	431.2	bétaïnes (FTB)		X					
N-(carboxyméthyle)-1H,1H,2H,2H,3H,3H -N,N-dimethylperfluorodecan-1-aminium	7:3 FTB	171184-04-6	$C_{14}H_{14}F_{15}NO_2$	513.2			X					
N-(carboxyméthyle)-1H,1H,2H,2H,3H -N,N-dimethylperfluorodecan-1-aminium	7:1:2 FTB	171184-03-5	$C_{14}H_{13}F_{16}NO_2$	531.2			X					
N-(carboxyméthyle)-1H,1H,2H,2H,3H,3H -N,N-dimethylperfluorododecan-1-aminium	9:3 FTB	171184-16-0	$C_{16}H_{14}F_{19}NO_2$	613,3			X					
$N\hbox{-}(carboxym\acute{e}thyle)\hbox{-}1H,1H,2H,2H,3H}\hbox{-}N,N\hbox{-}dimethylperfluorododecanl-aminium}$	9:1:2 FTB	171184-04-6	$C_{16}H_{13}F_{20}NO_{2} \\$	631.3			X					
4 :2 Fluorotélomère sulfonamide bétaïnes	4:2 FTAB	-	C ₁₃ H ₁₉ F ₉ N ₂ O ₄ S	470,1	Fluorotélomères	(x)	X	•	-		-	
1-Propanaminium, N-(carboxymethyl)-N,N-dimethyl-3-	CDPOS	34455-29-3	$C_{15}H_{19}F_{13}N_2O_4S$	570,1	sulfonamides	X	X					
[[(3,3,4,4,5,5,6,6,7,7,8,8,8-tridecafluorooctyl)sulfonyl]amino]-, hydroxyde	Capstone 1157 B 6:2 FTAB				alkylbétaïnes (FTAB)							
8 : 2 Fluorotélomère sulfonamide bétaïnes	8:2 FTAB	34455-21-5	$C_{17}H_{19}F_{17}N_2O_4S$	670.0		(x)	X					
1-Propanaminium,N-(carboxymethyl)-3-	10:2 FTAB	34455-35-1	$C_{19}H_{19}F_{21}N_2O_4S$	770.0		(x)	X					
(3,3,4,4,5,5,6,6,7,7,8,8,9,9,10,10,11,11,12,12,12- heneicosafluorododecyl)sulfonylamino-N,N-dimethyl-,inner sel												
N-(3-(diméthyle amine) propyl)-perfluorobutane-1-sulfonamide	PBSaAm	68555-77-1	C ₉ H ₁₃ F ₉ N ₂ O ₂ S	384,3	Perfluoroalkyle		X					
N-(3-(diméthyle amine) propyl)-perfluoropentane-1-sulfonamide	PFPeSaAm	68555-78-2	$C_{10}H_{13}F_{11}N_2O_2S$	434,3	Sulfonamide		X					
N-(3-dimethylaminopropan-1-yl)perfluoro-1-hexanesulfonamide	PFHxSaAm	50598-28-2	$C_{11}H_{13}F_{13}N_2O_2S$	484	Amines		X					
N-(3-dimethylaminopropan-1-yl)perfluoro-1-heptanesulfonamide	PFOSaAm	13417-01-1	$C_{12}H_{13}F_{15}N_2O_2S$	587	(PFSaAm)		X					
N-[3-(perfluoro-1-hexanesulfonamido)propan-1-yl]-N,N,N-trimethylammonium	N-TAmP- FHxSA	38850-51-0	$C_{12}H_{15}F_{13}N_2O_2S\\$	498,1			x					
N-diméthyle ammonio propyl perfluorohexane sulfonamide	AmPr-FHxSA						X					
N-triméthyle ammonio propyl perfluorohexane sulfonamide	TAmPr-FHxSA						X					
-(N-(3-(dimethylamino)propyl)-perfluoropropylsulfonamido)propanoic acide	PFPrSaAmA	-		407	Perfluoroalkyle sulfonamide	_	Х					
3-(N-(3-(dimethylamino)propyl)-perfluorobutylsulfonamido)propanoic acide	PFBSaAmA			457	amine carboxylate		X					
3-(N-(3-(dimethylamino)propyl)-perfluor open tylsul fonamido) propanoic acide	PFPeSaAmA			507	(PFSaAmA)		X					
3-(N-(3-(dimethylamino)propyl)-perfluorohexylsulfonamido)propanoic acide	PFHxSaAmA			557			X					
3-(N-(3-(dimethylamino)propyl)-perfluorooctylsulfonamido)propanoic acide	PFOSaAmA			657			X					
eq:N-(2-carboxyethyl)-3-(N-(2-carboxyethyl)-perfluoropentylsulfonamido)-N,N-dimethylpropan-1-aminium			C16H22F11N2O6S				X					
N-(2-carboxyethyl)-3-(N-(2-carboxyethyl)-perfluorohexylsulfonamido)-N,N-dimethylpropan-1-aminium							X					
N-(2-carboxyethyl)-3-(N-(2-carboxyethyl)-perfluorohexylsulfonamido)-N,N-dimethylpropan-1-aminium							X					

Nom	Abréviation	CAS	Formule chimique	Masse molaire	Classe	Industries fluorochimiques	Mousses anti-	Papeteries et	Industries textiles	Industries du métal	Pharma et cosmétique	Industries agro
40 Fl (1) 11 1 1 1 1 1 1 1 1 1 1 1 1 1 1 1 1	4.2 F/F/4 C	1.422.406.00.0	C131117E92104C2	106.1	T1 (1)		incendie	emballage				chimiques
4:2 Fluorotélomère thioether amido sulfonique acide	4:2 FtTAoS	1432486-88-8	C ¹³ H ¹⁷ F ⁹ NO ⁴ S ²	486,4	Fluorotélomères thioéther amido		X					
6:2 Fluorotélomère thioether amido sulfonique acide	6:2 FtTAoS	88992-47-6	C ¹⁵ H ¹⁷ F ¹³ NO ⁴ S ²	586,4	sulfonates (FtTAoS ou		X					
8:2 Fluorotélomère thioether amido sulfonique acide	8:2 FtTAoS	755698-73-8	$C^{17}H^{18}F^{17}NO^4S^2$	687,4	FTSAS)		X					
10:2 fluorotélomère mercapto alkyle amido sulfonate	10:2 FtTAoS				1 15/15)		X					
12:2 fluorotélomère mercapto alkyle amido sulfonate	12:2 FtTAoS						X					
14:2 fluorotélomère mercapto alkyle amido sulfonate	14:2 FtTAoS						X					
4:2 fluorotélomère thio hydroxyle ammonium sulfoxyde	4:2 FtTAoS-SO2				Fluorotélomère		(x)					
6:2 fluorotélomère thio hydroxyle ammonium sulfoxyde	6:2 FtTAoS-SO2				thiohydroxyle		X					
8:2 fluorotélomère thio hydroxyle ammonium sulfoxyde	8:2 FtTAoS-SO2				ammonium sulfoxyde (FtAoS-SO2)		(x)					
4:2 fluorotélomère mercapto alkyle amido sulfonate	4:2 FtTAoS-SO				Fluorotélomère		(x)					
sulfone					mercapto alkyle amido							
6:2 fluorotélomère mercapto alkyle amido sulfonate	6:2 FtTAoS-SO				sulfonate sulfone		x					
sulfone					(FtTAoS-SO)							
8:2 fluorotélomère mercapto alkyle amido sulfonate	8:2 FtTAoS-SO						(x)					
sulfone												
2-hydroxy-N,N,N-trimethyl-3-((1H,1H,2H,2H-perfluoro-	6:2 FtTHN			496	Fluorotélomère Thio		X					
1-octyl)thio)propan-1-aminium					Hydroxy Ammonium							
2-hydroxy-N,N,N-trimethyl-3-((1H,1H,2H,2H-perfluoro-	8:2 FtTHN				(FtTHN)		X					
1-decyl)thio)propan-1-aminium						_						
3,3,4,4,5,5,6,6,6-nonafluorohexanal	4:2 FTAL	135984-67-7	C ₆ H ₃ F ₉ O	262,1	Fluorotélomères	(x)	(x)	(x)	(x)	(x)	(x)	
3,3,4,4,5,5,6,6,7,7,8,8,8- tridecafluorooctanal	6:2 FTAL	56734-81-7	$C_8H_3F_{13}O$	362,1	d'aldéhydes (FTAL)	(x)	(x)	(x)	(x)	(x)	(x)	
3,3,4,4,5,5,6,6,7,7,8,8,9,9,10,10,10-	8:2 FTAL	135984-68-8	$C_{10}H_3F_{17}O$	462,1		(x)	(x)	(x)	(x)	(x)	(x)	
heptadecafluorodecanal												
3,3,4,4,5,5,6,6,7,7,8,8,9,9,10,10,11,11,12,12,12-	10:2 FTAL	864551-38-2	$C_{12}H_3F_{21}O$	562,1		(x)	(x)	(x)	(x)	(x)	(x)	
henicosafluorododecanal												
3,3,4,4,5,5,6,6,7,7,8,8,9,9,10,10,11,	12:2 FTAL		$C_{14}H_3F_{25}O$	662,1		(x)	(x)	(x)	(x)	(x)	(x)	
11,12,12,13,13,14,14,14- pentacosafluorotetradecanal				_			_		-			
6:2 fluorotélomère α,β-insaturé aldéhyde	6:2 FTUAL				Fluorotélomère	(x)	(x)	(x)	(x)	(x)	(x)	
8:2 fluorotélomère α,β-insaturé aldéhyde	8:2 FTUAL				insaturé aldéhyde (FTUAL)	(x)	(x)	(x)	(x)	(x)	(x)	
6:2 fluorotélomère mercapto alkyl phosphate	6:2 FTMAP	•	C ₂₁ H ₁₇ F ₂₆ O ₄ PS ₂	922,4	Fluorotélomères	_	•	X	_			
8:2 fluorotélomère mercapto alkyle phosphate diester	8:2 FTMAP			,	mercapto alkyles			X				
10:2 fluorotélomère mercapto alkyle phosphate diester	10:2 FTMAP				phosphates diesters			X				
6:2/8:2 fluorotélomère mercapto alkyle phosphate diester	6:2/8:2 FTMAP				(FTMAP)			(x)				
8:2/10:2 fluorotélomère mercapto alkyle phosphate diester	8:2/10:2 FTMAP							(x) (x)				
diester	0.2/10.2 I TWIAT							(A)				
Perfluorotripropylamine	PFTPA	338-83-0	C ₉ F ₂₁ N	521	Fluorotélomères	•	X	•	-			
Perfluorotributylamine	PFTBA	311-89-7	C ₁₂ F ₂₇ N	671	sulfonamides alkyle		X					
2 consection of the section of the s		5.1 07 /	€121 Z/11	3/1	amines (FTAA)							
6 :2 fluorotélomère sulfonamide alkyle amine	6 :2 FTAA				()		X					

Nom	Abréviation	CAS	Formule chimique	Masse molaire	Classe	Industries fluorochimiques	Mousses anti- incendie	Papeteries et emballage	Industries textiles	Industries du métal	Pharma et cosmétique	Industries agro chimiques
Perfluorobutyle phosphonique acide	PFBPA	52299-24-8	C ₄ H ₂ F9O ₃ P	350	Acides		(x)		X	(x)		X
Perfluorohexyle phosphonique acide	PFHxPA	40143-76-8	$C_6H_2F_{13}O_3P$	400	perfluoroalcanes		(x)		X	(x)		x
Perfluorooctyle phosphonique acide	PFOPA	40143-78-0	$C_8H_2F_{17}O_3P$	500,1	phosphoniques		(x)		X	(x)		x
Perfluorodecyle phosphonique acide	PFDPA	52299-26-0	$C_{10}H_2F_{21}O_3P$	600,1	(PFAPA)		(x)		X	(x)		X
6-Chloroperfluorohexylphosphonic acide	Cl-PFHxPA	1283087-54-6	$C_6H_2ClF_{12}O_3P$	415,9	Acides			X		='		
8-Chloroperfluorooctylphosphonic acide	Cl-PFOPA	NOCAS_1009908	C ₈ H ₂ ClF ₁₆ O ₃ P	515,9	perfluoroalcanes phosphoniques chlorés (PFPAS)			X				
1,1,1,2,2,3,3,4,4-nonafluoro-4-iodo-butane	PFBI	423-39-2	C ₄ F ₉ I	345,9	Iodures de	X	x	-		•	-5	
1,1,1,2,2,3,3,4,4,5,5,6,6-tridecafluoro-6-iodo-hexane	PFPeI	638-79-9	$C_5F_{11}I$	395,9	perfluoroalcanes	X	X					
1,1,1,2,2,3,3,4,4,5,5,6,6-tridecafluoro-6-iodo-hexane	PFHxI	355-43-1	$C_6F_{13}I$	445,9	(PFAI)	X	X					
1,1,1,2,2,3,3,4,4,5,5,6,6,7,7-pentadecafluoro-7-iodo-heptane	PFHpI	335-58-0	$C_7F_{15}I$	496		X	X					
1,1,1,2,2,3,3,4,4,5,5,6,6,7,7,8,8-heptadecafluoro-8-iodo-octane	PFOI	507-63-1	$C_8F_{17}I$	545,9		X	X					
1,1,1,2,2,3,3,4,4,5,5,6,6,7,7,8,8, 9,9-nonadecafluoro-9-iodononane	PFNI	558-97-4	$C_9F_{19}I$	596		X	X					
1,1,1,2,2,3,3,4,4,5,5,6,6,7,7,8,8, 9,9,10,10-heneicosafluoro-10-iodo-décane	PFDI	423-62-1	$C_{10}F_{21}I$	645,9		X	X					
1,1,1,2,2,3,3,4,4,5,5,6,6,7,7,8,8, 9,9,10,10,11,11- tricosafluoro l 1-iodo-undecane	PFUnDI	307-50-6	$C_{11}F_{23}I$	696		X	x					
1,1,1,2,2,3,3,4,4,5,5,6,6,7,7,8,8, 9,9,10,10,11,11,12,12- pentacosafluoro-12-iodododecane	PFDoDI	307-60-8	$C_{12}F_{25}I$	745,9		X	X					
1,1,1,2,2,3,3,4,4,5,5,6,6,7,7,8,8, 9,9,10,10,11,11,12,12,13,13-heptacosafluoro-13-iodotridecane	PFTrDI	376-04-5	$C_{13}F_{27}I$	796								
1,1,1,2,2,3,3,4,4,5,5,6,6,7,7,8,8,9,9,10,10,11,11,12,12,13,13, 14,14-nonacosafluoro-14-iodotetradécane	PFTeDI	307-63-1	$C_{14}F_{29}I$	846								
bis(perfluorohexyle)phosphinique acide	6:6 PFPiA	40143-77-9	$C_{12}HF_{26}O_2P$	701,9	Phosphinates de		X		X	X		х
Perfluorohexyle perfluorooctyle phosphinique acide	6:8 PFPiA	610800-34-5	$C_{14}HF_{30}O_2P$	801,9	perfluoroalcanes		x		X	X		x
bis(perfluorooctyle)phosphinique acide	8:8 PFPiA	40143-79-1	$C_{16}HF_{34}O_2P$	901,9	(PFPiA)		X		X	X		x
1,1,2,2,3,3,4,4,4-nonafluoro-1-butanesulfinic acide	PFBSi	34642-43-8	C ₄ HF ₉ O ₂ S	284,1	Acides sulfiniques	-	(x)	(x)	(x)		- 	
1,1,2,2,3,3,4,4,5,5,6,6,6-tridecafluoro1-hexanesulfinic acide	PFHxSi	115416-67-6	$C_6HF_{13}O_2S$	384	perfluoroalcanes		(x)	(x)	(x)			
1,1,2,2,3,3,4,4,5,5,6,6,7,7,8,8,8- heptadecafluoro-1-octanesulfinic acide	PFOSi	647-29-0	$C_8HF_{17}O_2S$	484	(PFSiAs)		X	(x)	(x)			
1,1,2,2,3,3,4,4,5,5,6,6,7,7,8,8,9,9,10, 10,10-heneicosafluoro-1- décane sulfinique acide	PFDSi	558-98-5	$C_{10}HF_{21}O_2S$	584			(x)	(x)	(x)			

Nom	Abréviation	CAS	Formule chimique	Masse molaire	Classe	Industries fluorochimiques	Mousses anti- incendie	Papeteries et emballage	Industries textiles	Industries du métal	Pharma et cosmétique	Industries agro chimiques
Mono[2-(perfluorobutyl)éthyle] phosphate	4:2PAP	150065-76-2	C ₆ H ₆ F ₉ O ₄ P	344	Mono esters de			(x)			(x)	
Mono[2-(perfluorohexyl)éthyle] phosphate	6:2PAP	57678-01-0	$C_8H_6F_{13}O_4P$	444	phosphate de			X			X	
Mono[2-(perfluorooctyl)éthyle]phosphate	8:2PAP	57678-03-2	$C_{10}H_6F_{17}O_4P$	544	fluorotélomères			X			X	
Mono[2-(perfluorodecyl)éthyle] phosphate	10:2PAP	57678-05-4	$C_{12}H_6F_{21}O_4P$	644	(PAP)			X			X	
Mono[2-(perfluorododecyl)éthyle]phosphate	12:2PAP	57678-07-6	$C_{14}H_6F_{25}O_4P$	744				X			(x)	
3,3,4,4,5,5,6,6,6-nonafluoro1-hexanol, 1-(dihydrogène	4:2 diPAP	150065-76-2	$C_{12}H_9F_{18}O_4P$	590	Diesters de phosphate de fluorotélomères			X			(x)	
bis(1H,1H,2H,2H-perfluorooctyl)phosphate	6:2diPAP	57677-95-9	$C_{16}H_9F_{26}O_4P$	790	(diPAP)			X			x	
(1H,1H,2H,2H-perfluorooctyl-1H,1H,2H,2H-perfluorodecyl) phosphate	6:2/8:2 diPAP	943913-15-3	$C_{18}H_{9}F_{30}O_{4}P$	890				X			X	
bis(1H,1H,2H,2H-perfluorodecyl)phosphate	8:2diPAP	678-41-1	$C_{20}H_9F_{34}O_4P$	990				x			X	
bis(1H,1H,2H,2H-perfluorododecyl)phosphate	10:2diPAP	1895-26-7	$C_{24}H_9F_{42}O_4P$	1190				X			(x)	
bis(1H,1H,2H,2H- perfluorotetradecyl)phosphate	12:2 diPAP	57677-99-3	$C_{28}H_9F_{50}O_4P$	1389,9				X			(x)	
6:2 TriPAP	6:2TriPAP	165325-62-2	$C_{24}H_{12}F_{39}O_4P$	1136	Triesters de phosphate			X				
8:2 TriPAP	8:2TriPAP	149790-22-7	$C_{30}H_{12}F_{51}O_4P$	1436	de fluorotélomères (triPAP)			X				
2-(N-ethylperfluorooctane-1- sulfonamido)éthyle phosphate	SAmPAP	3820-83-5	C ₁₂ H ₁₁ F ₁₇ NO ₆ PS	651	Phosphate à base de perfluorooctane sulfonamide éthanol (SAmPAP)			х				
Bis(2-perfluorooctylsulfonyl-N- ethylaminoethyl) Phosphate	diSAmPAP	2965-52-8	C ₂₄ H ₁₉ F ₃₄ N ₂ O ₈ PS ₂	1204	Diester et triester de phosphate à base de		•	х				
1-Octanesulfonamide, N,N',N"- [phosphinylidynetris(oxy-2,1- ethanediyl)]tris[N-ethyl- 1,1,2,2,3,3,4,4,5,5,6,6,7,7,8,8,8- heptadecafluoro-	TriSAmPAP	2250-98-8	$C_{36}H_{27}F_{51}N_{3}O_{10}PS_{3} \\$	1757,7	perfluorooctane sulfonamide éthanol (diSAmPAP et triSAmPAP)			х				

x: Présence identifiée dans les produits utilisés par ces activités ou dans leurs rejets.

⁽x) Présence supposée car faisant partie des impuretés ou des produits de dégradation de d'autres substances associées à ces activités.

Annexe 2

Profils de biodégradation connus de certains PFAS et précurseurs

Composés	Classe	Processus	Chemin de dégradation	Références
4:2 FtTAoS	FtTAoS	Biodégradation aérobie dans les sols	4:2 FtTAoS-SO > 4:2 FtTAoS -SO ₂ > 4:2 FTS > 4:2 FTUCA > 3:3 FTCA + PFBA	Harding-Marjanovic et al 2015
6:2 FtTAoS	1111105	Biodégradation aérobie dans les sols	6:2 FtTAoS-SO > 6:2 FtTAoS-SO ₂ > 6:2 FTS > 6:2 FTUCA > 5:3 FTCA + PFPeA + PFHxA	Trairding-iviarjanovie et al 2015
8:2 FtTAoS		Biodégradation aérobie dans les sols	8:2 FtTAoS-SO > 8:2 FtTAoS -SO ₂ > 8:2 FTS > 8:2 FTUCA > 7:3 FTCA + PFHpA + PFOA	
	FASEs	8		D. I I. 2022 D I I. 2012
EtFOSE	FASES	Biodégradation aérobie dans les sédiments	EtFOSE aldéhyde > EtFOSAA > EtFOSA > (a) FOSA > PFOSI > PFOS ou (b) EtFOSA alcool > FOSA aldéhyde > FOSAA > FOSA > PFOSI > PFOS	Berhanu et al., 2023. Benskin et al., 2013,
N E-EOCE		marins		Meja Avendano et Liu 2015
N-EtFOSE		Boues	N-EtFOSAA > N-EtFOSA > FOSAA > FOSA > PFOSI > PFOS	Rhoads et al., 2008
N-EtFOSA	FASAs	Biodégradation aérobie dans les sédiments	(a) FOSA > PFOSI > PFOS ou (b) EtFOSA alcool > FOSA aldéhyde > FOSAA > FOSA > PFOSI > PFOS	Berhanu et al., 2023. Benskin et al., 2013,
		marins	Post Post Programme	Meja Avendano et Liu 2015
		Boues	FOSA > FOSA > PFOSI > PFOS	Rhoads et al., 2008
FOSA		Biodégradation aérobie sédiments marins,	PFOSI > PFOS	Berhanu et al., 2023. Benskin et al., 2013,
		boues		Meja Avendano et Liu 2015, Rhoads et al.,
				2008
N-		Boues	N-EtFOSA > FOSAA > FOSA > PFOSI > PFOS	Rhoads et al., 2008
EtFOSAA				
		Biodégradation aérobie dans les sédiments	EtFOSA > (a) FOSA > PFOSI > PFOS ou (b) EtFOSA alcool > FOSA aldéhyde > FOSAA > FOSA > PFOSI > PFOS	Berhanu et al., 2023. Benskin et al., 2013,
		marins		Meja Avendano et Liu 2015
FASAA	FASAAs	Boues	FOSA > PFOSI > PFOS	Berhanu et al., 2023. Benskin et al., 2013,
				Meja Avendano et Liu 2015, Rhoads et al.,
				2008
6:2 FTAA	FTAAs		6:2 FTSAm > 6:2 FTS > 6:2 FTOH > 6:2 FTAL > (a) 6:2 FTUAL 6:2 > 6:2 FTUCA ou (b) 6:2 FTCA > 6:2 FTUCA > (a) 5:2 cétone >	Berhanu et al., 2023, D'Agostino et
			5:2 sFTOH > PFHxA ou PFPeA ou (b) 5:3 FTCA > 5:3 FTUCA > PFPeA et ou PFBA	Mabury 2017
6:2 FTAB	FTABs		6:2 FTOH > 6:2 FTAL > (a) 6:2 FTUAL 6:2 > 6:2 FTUCA ou (b) 6:2 FTCA > 6:2 FTUCA > (a) 5:2 cétone > 5:2 sFTOH > PFHxA ou	Berhanu et al., 2023, D'Agostino et
			PFPeA ou (b) 5:3 FTCA > 5:3 FTUCA > PFPeA et ou PFBA	Mabury 2017
		Biodégradation aérobie	6:2 FTS > (a) 6:2 sFTOH > 6:2 FTOH > 6:2 FTAL, (b) 6:2 FTOH > 6:2 FTAL, (c) 6:2 FTAL > 6:2 FTCA > 6:2 FTCA > 6:2 FTUA > (i majeur) 5:2	Shaw et al., 2019
		-	cétone > 5:2 FTOH > PFHxA + 4:2 cétone > PFPeA ou (ii mineur) 5:3 FTCA > PFBA + 4:3 FTCA > 4:2 FTCA > 4:2 FTUA	
8:2 FTAC	FTACs	Biodégradation aérobie	8:2 FTOH > PFOA	Liu et Avendano 2013
SAmPAP	SAmPAPs	Biodégradation aérobie dans les sols	EtFOSE > PFOS	Liu et Avendano 2013

Composés	Classe	Processus	Chemin de dégradation	Références
4:2 PAP	PAPs	Biodégradation aérobie dans les sols	4:2 FTOH > 4:2 FTCA > 4:2 FTUCA > 3:3 FTCA + PFBA	Liu et Avendano 2013
6:2 PAP		Biodégradation aérobie dans les sols	6:2 FTOH > 6:2 FTCA > PFHpA + 6:2 FTUCA > PFHxA + 5:2 cétone (> 5:2 FTOH) + 5:3 FTCA > PFPeA	Berhanu et al., 2023, Lee et al., 2010, Liu et Avendano 2013
8:2 PAP		Biodégradation aérobie dans les sols	8:2 FTOH > 8:2 FTCA > 8:2 FTUCA > 7:3 FTCA + PFOA	Liu et Avendano 2013
10:2 PAP		Biodégradation aérobie dans les sols	10:2 FTOH > 10:2 FTCA > 10:2 FTUCA > 9:3 FTCA + PFDA	Liu et Avendano 2013
4:2 diPAP		Biodégradation aérobie dans les sols	4:2 PAP > 4:2 FTOH > 4:2 FTCA > 4:2 FTUCA > 3:3 FTCA + PFBA	
6:2 diPAP		Biodégradation aérobie dans les sols	6:2 PAP > 6:2 FTOH > 6:2 FTCA > PFHpA + 6:2 FTUCA > PFHxA + 5:2 cétone (> 5:2 FTOH) + 5:3 FTCA > PFPeA	Berhanu et al., 2023, Lee et al., 2010
8:2 diPAP		Biodégradation aérobie dans les sols	8:2 PAP > 8:2 FTOH > 8:2 FTCA > 8:2 FTUCA > 7:3 FTCA + PFOA	
10:2 diPAP		Biodégradation aérobie dans les sols	10:2 PAP > 10:2 FTOH > 10:2 FTCA > 10:2 FTUCA > 9:3 FTCA + PFDA	
6:6 PFPiA		Biodégradation aérobie	PFHxPA	(Gao et al., 2023)
8:8 PFPiA			PFOPA	
6:2 FTOH	FTOH	Biodégradation aérobie dans les sols/sédiments/boues	6:2 FTAL > 6:2 FTCA > 6:2 FTUCA > (a) 5:2 FT cétone > 5:2 sFTOH > PFPeA + PFHxS ou (b) 5:3 FTUCA > 5:3 FTCA + 3-hydroxy-5:3 FTUCA > PFPeA + PFHxA	Berhanu et al., 2023
		Biodégradation	6:2 FTAL > 6:2 FTCA > 6:2 FTUCA > (a) 5:3 cétone aldéhyde > 5:2 cétone > 5:2 sFTOH > PFHxA ou 4:2 cétone > 4:2 sFTOH > PFBA + PFPeA ou (b) 5:3 FTUCA > 5:2 FTCA > 5:2 FTUCA > 4:3 FTUCA > 4:3 FTCA > 4:2 FTCA > 4:2 FTUCA	LaFond et al., 2023
		Biodégradation anaérobie dans les sols/sédiments/boues	6:2 FTAL > 6:2 FTCA > 6:2 FTUCA > 3-fluoro 5:3 acide ou du 5:3 FTUCA > 5:3 FTCA ou 5:2 oléfine	Berhanu et al., 2023
8:2 FTOH		Biodégradation aérobie dans les	8:2 FTAL > 8:2 FTCA > 8:2 FTUCA > (a) 7:2 FT cétone > 7:2 sFTOH > PFHxA + PFHpA ou (b) 7:3 FTUCA > 7:3 FTCA + 3-hydroxy-	Berhanu et al., 2023
		sols/sédiments/boues	7:3 FTUCA > pFHpA + PFOA 8:2 FTAL > 8:2 FTCA > 8:2 FTUCA > 3-fluoro 7:3 acide ou du 7:3 FTUCA > 7:3 FTCA ou 7:2 oléfine	Danhamy et al. 2022
		Biodégradation anaérobie dans les sols/sédiments/boues		Berhanu et al., 2023
		Biodégradation anaérobie	8:2 FTAL > (i) 8:2 FTCA > 7:3 acide> PFOA OU 7:2 OLÉFINE > 7:2 sFTOH > PFOA, pFHpA, PFHxA, PFPeA, PFBA (ii) 8:2 FTUCA > 7:3 acide> 7:2 OLÉFINE > 7:2 sFTOH > PFOA, pFHpA, PFHxA, PFPeA, PFBA	Li et al., 2018

Composés	Classe	Processus	Chemin de dégradation	Références
6:2 FTS	FTS	Biotransformations aérobies et anoxiques	6:2 FTUCA > 5:2 cétone > 5:2 s FTOH > PFPeA + PFHxA	Wang et al., 2011
		Désulfonation et défluoration	6:2 FTOH > 6:2 FTAL > 6:2 FTCA > (a) pFHpA ou (b) 6:2 FTUCA > 5:3 FTCA > αOH 5:3 FTCA > 4:3 FTCA	Yang et al., 2022
		Dégradation aérobie	6:2 FTOH ou directement 6:2 FTOH > 6:2 FTAL > 6:2 FTCA > 6:2 FTUCA > (i) 5:2 cétone > 5:2 sFTOH > PFPeA et ou PFHxA > 5:3	Berhanu et al., 2023
			FTCA ou (ii) 5:3 FTUCA > PFBA et ou 5:3 FTCA > 4:3 FTCA ou 3-hydroxy 5:3 FTUCA > PFPeA et PFHxA	
		Dégradation anaérobie	6:2 FTOH ou directement 6:2 FTOH > 6:2 FTAL > 6:2 FTCA > 6:2 FTUCA > (i) 5:3 FTUCA > 5:2 oléfine et ou 5:3 FTCA (ii) 3-fluoro	Berhanu et al., 2024
			5:3 acide	
8:2 FTS		Dégradation aérobie	8:2 FTOH ou directement 8:2 FTOH > 8:2 FTAL > 8:2 FTCA > 8:2 FTUCA > (i) 7:2 cétone > 7:2 sFTOH > PFHpA et ou PFHxA ou (ii)	Berhanu et al., 2023
			7:3 FTUCA > PFBA et ou 7:3 FTCA ou 3-hydroxy 7:3 FTUCA > PFOA et PFHpA	
		Dégradation anaérobie	8:2 FTOH ou directement 8:2 FTOH > 8:2 FTAL > 8:2 FTCA > 8:2 FTUCA > (i) 7:3 FTUCA > 7:2 oléfine et ou 7:3 FTCA (ii) 3-fluoro	Berhanu et al., 2023
			5:3 acide	
4:2 FTUCA	FTUCAs	Biodégradation aérobie dans les sols	3:3 FTCA + PFBA	Harding-Marjanovic et al 2015
6:2 FTUCA		Oxidation à l'ozone/dégradation UV dans	PFHxA + PFPeA	Anumol et al., 2016
		les eaux de surface et souterraines		
		Biodégradation aérobie synthèse biblio	(a) 5:2 FT cétone > 5:2 sFTOH > PFPeA + PFHxS ou (b) 5:3 FTUCA > 5:3 FTCA + 3-hydroxy-5:3 FTUCA > PFPeA + PFHxA	Berhanu et al., 2023
		Biodégradation anaérobie	3-fluoro 5:3 acide ou du 5:3 FTUCA > 5:3 FTCA ou 5:2 oléfine	Berhanu et al., 2023
		Biodégradation aérobie	(a) 5:2 cétone > 5:2 sFTOH > PFPeA ou PFHxA > 5:3 FTCA, (b) 5:3 FTUCA > PFBA ou 5:3 FTCA > 4:3 FTCA	Parsons et al., 2008, Fromel et Knepper
				2010, Liu et Avendano 2013, Berhanu et
				al., 2023
8:2 FTUCA		Oxidation à l'ozone/dégradation UV dans	PFOA + PFHpA + PFHxA	Anumol et al., 2016
		les eaux		
		Biodégradation aérobie	(i) 7:3 FTUCA > PFHxA ou 3-OH 7:3 acide ou 7:3 FTCA > PFHpA, (ii) 7:2 sFTOH > PFOA et ou 7:2 cétone > 2H PFOA	Parsons et al., 2008, Fromel et Knepper
				2010, Liu et Avendano 2013, Berhanu et
		D: 1/ 1 .: / 1:	TA CLUSTON TO A PROVE PROVE PROVE PROVE PROVE PROVE PROVE	al., 2023
		Biodégradation anaérobie	7:3 acide> 7:2 OLÉFINE > 7:2 sFTOH > PFOA, pFHpA, PFHxA, PFPeA, PFBA	Li et al., 2018
		Dégradation aérobie	(i) 7:2 cétone > 7:2 sFTOH > PFHpA et ou PFHxA ou (ii) 7:3 FTUCA > PFBA et ou 7:3 FTCA ou 3-hydroxy 7:3 FTUCA > PFOA et	Berhanu et al., 2023
		D(1-4)(1-1-	PFHpA	Dayles 1 2022
G1 6 2	CI PEEC I	Dégradation anaérobie	(i) 7:3 FTUCA > 7:2 oléfine et ou 7:3 FTCA (ii) 3-fluoro 5:3 acide	Berhanu et al., 2023
Cl-6:2 PFESA	Cl-PFESA	Dégradation anaérobie	1H-6:2 PFESA, 1H-6:2 PFUESA, 2H-6:2 PFESA	Lin et al., 2017
Cl-8:2		D(1-4;	111 9.2 DEEGA 111 9.2 DELIEGA 211 9.2 DEEGA	
CI-8:2 PFESA		Dégradation anaérobie	1H-8:2 PFESA, 1H-8:2 PFUESA, 2H-8:2 PFESA	
FFESA				

Composés	Classe	Processus	Chemin de dégradation	Références
5:3 FTCA	FTCAs	Dégradation aérobie dans des boues	4:3 FTCA ou PFPeA ou αOH 5:3 FTCA > 4:3 FTCA	Parsons et al., 2008, Fromel et Knepper 2010, Liu et Avendano 2013, Berhanu et al., 2023, Yang et al., 2022
			5:3 FTCA > 5:3 FTUCA > PFPeA et ou PFBA	Berhanu et al., 2023
7:3 FTCA		Biodégradation aérobie	PFHpA	Parsons et al., 2008, Fromel et Knepper 2010, Liu
0.2 FTC.		D' 16 '11	CAPTRIAN CARACTERIST TO ME A GAPTRA COA GARAGE	et Avendano 2013, Berhanu et al., 2023
8:2 FTCA		Dégradation anaérobie Dégradation aérobie	8:2 FTUCA > (i) 7:3 FTUCA > 7:2 oléfine et ou 7:3 FTCA (ii) 3-fluoro 5:3 acide 8:2 FTUCA > (i) 7:2 cétone > 7:2 sFTOH > PFHpA et ou PFHxA ou (ii) 7:3 FTUCA > PFBA et ou 7:3 FTCA ou 3-hydroxy 7:3 FTUCA > PFOA et PFHpA	Berhanu et al., 2023 Berhanu et al., 2023
6:2 FTCA		Dégradation aérobie	6:2 FTUCA > (i) 5:2 cétone > 5:2 sFTOH > PFPeA et ou PFHxA > 5:3 FTCA ou (ii) 5:3 FTUCA > PFBA et ou 5:3 FTCA > 4:3 FTCA ou 3-hydroxy 5:3 FTUCA > PFPeA et PFHxA	Berhanu et al., 2023
		Dégradation anaérobie	6:2 FTUCA > (i) 5:3 FTUCA > 5:2 oléfine et ou 5:3 FTCA (ii) 3-fluoro 5:3 acide	Berhanu et al., 2024
		Désulfonation et défluoration	(a) pFHpA ou (b) 6:2 FTUCA > 5:3 FTCA > αOH 5:3 FTCA > 4:3 FTCA	Yang et al., 2022
			6:2 FTUCA > (a) 5:2 cétone > 5:2 sFTOH > PFHxA ou PFPeA ou (b) 5:3 FTCA > 5:3 FTUCA > PFPeA et ou PFBA	Berhanu et al., 2023
6:2 FTAL	FTALs	Désulfonation et défluoration	6:2 FTCA > (a) pFHpA ou (b) 6:2 FTUCA > 5:3 FTCA > αOH 5:3 FTCA > 4:3 FTCA	Yang et al., 2022
		Dégradation aérobie	6:2 FTCA > 6:2 FTUCA > (i) 5:2 cétone > 5:2 sFTOH > PFPeA et ou PFHxA > 5:3 FTCA ou (ii) 5:3 FTUCA > PFBA et ou 5:3 FTCA > 4:3 FTCA ou 3-hydroxy 5:3 FTUCA > PFPeA et PFHxA	Berhanu et al., 2023
		Dégradation anaérobie	6:2 FTCA > 6:2 FTUCA > (i) 5:3 FTUCA > 5:2 oléfine et ou 5:3 FTCA (ii) 3-fluoro 5:3 acide	Berhanu et al., 2024
		Biodégradation aérobie	6:2 FTCA > 6:2 FTUCA > (a) 5:2 FT cétone > 5:2 sFTOH > PFPeA + PFHxS ou (b) 5:3 FTUCA > 5:3 FTCA + 3-hydroxy-5:3 FTUCA	Berhanu et al., 2023
		(sols/sédiments/boues)	> PFPeA + PFHxA	
		Biodégradation	6:2 FTCA > 6:2 FTUCA > (a) 5:3 cétone aldéhyde > 5:2 cétone > 5:2 sFTOH > PFHxA ou 4:2 cétone > 4:2 sFTOH > PFBA + PFPeA ou (b) 5:3 FTUCA > 5:2 FTCA > 5:2 FTUCA > 4:3 FTUCA > 4:3 FTUCA > 4:2 FTUCA	LaFond et al., 2023
		Biodégradation anaérobie dans les	6:2 FTCA > 6:2 FTUCA > 3-fluoro 5:3 acide ou du 5:3 FTUCA > 5:3 FTCA ou 5:2 oléfine	Berhanu et al., 2023
		sols/sédiments/boues	a) 6:2 FTUAL 6:2 > 6:2 FTUCA ou (b) 6:2 FTCA > 6:2 FTUCA > (a) 5:2 cétone > 5:2 sFTOH > PFHxA ou PFPeA ou (b) 5:3 FTCA > 5:3 FTUCA > PFPeA et ou PFBA	Berhanu et al., 2023, D'Agostino et Mabury 2017
		Biodégradation aérobie	6:2 FTCA > 6:2 FTUCA > (i majeur) 5:2 cétone > 5:2 FTOH > PFHxA + 4:2 cétone > PFPeA ou (ii mineur) 5:3 FTCA > PFBA + 4:3 FTCA > 4:2 FTCA > 4:2 FTUA	Shaw et al., 2019
8:2 FTAL		Dégradation aérobie	8:2 FTCA > 8:2 FTUCA > (i) 7:2 cétone > 7:2 sFTOH > PFHpA et ou PFHxA ou (ii) 7:3 FTUCA > PFBA et ou 7:3 FTCA ou 3-hydroxy 7:3 FTUCA > PFOA et PFHpA	Berhanu et al., 2023
		Dégradation anaérobie	8:2 FTCA > 8:2 FTUCA > (i) 7:3 FTUCA > 7:2 oléfine et ou 7:3 FTCA (ii) 3-fluoro 5:3 acide	Berhanu et al., 2023
		Biodégradation anaérobie	8:2 FTCA > 8:2 FTUCA > 3-fluoro 7:3 acide ou du 7:3 FTUCA > 7:3 FTCA ou 7:2 oléfine	Berhanu et al., 2023
		Biodégradation anaérobie	(i) 8:2 FTCA > 7:3 acide> PFOA OU 7:2 OLÉFINE > 7:2 sFTOH > PFOA, pFHpA, PFHxA, PFPeA, PFBA (ii) 8:2 FTUCA > 7:3 acide> 7:2 OLÉFINE > 7:2 sFTOH > PFOA, pFHpA, PFHxA, PFPeA, PFBA	Li et al., 2018
PFOS	PFSAs	Biodégradation aérobie	PFHpA et F-	Chetverikov et al., 2017
		Biodégradation aérobie	PFBS, PFHxS	Kwon et al., 2014
PFOA	PFCAs	Biodégradation anaérobie	PFBA, PFPeA, PFHxA, PFHpA, F-	Ruiz Uriguen et al., 2022
		Biodégradation anaérobie	PFBA, PFPeA, PFHxA, PFHpA, F-	Huang et al., 2022
		Biodégradation anaérobie	HFBA, PFPeA, PFHxA, PFHpA	Huang et Jaffé 2019

Références

- Ahrens, L., Norström, K., Viktor, T., Cousins, A.P., Josefsson, S., 2015. Stockholm Arlanda Airport as a source of per-and polyfluoroalkyl substances to water, sediment and fish. Chemosphere 129, 33–38.
- Ahrens, L., Rakovic, J., Axelson, S., Kallenborn, R., 2016. Source Tracking and Impact of Perand Polyfluoroalkyl Substances at Svalbard-FluorosImpact, in: Svalbard Final Report Notes 3-17. UNIS.
- **Alnehem, I.,** 2016. Assessment on groundwater contamination from a former hard chromium plating site in Iggesund.
- Anderson, R.H., Long, G.C., Porter, R.C., Anderson, J.K., 2016. Occurrence of select perfluoroalkyl substances at US Air Force aqueous film-forming foam release sites other than fire-training areas: Field-validation of critical fate and transport properties. Chemosphere 150, 678–685.
- Andraju, N., Curtzwiler, G., Ji, Y., Kozliak, E., Ranganathan, P., 2023. Machine Learning Models for PFAS Tracking, Detection and Remediation: A Review, in: 2023 IEEE International Conference on Electro Information Technology (eIT). IEEE, pp. 137–142.
- Androulakakis, A., Alygizakis, N., Gkotsis, G., Nika, M.-C., Nikolopoulou, V., Bizani, E., Chadwick, E., Cincinelli, A., Claßen, D., Danielsson, S., 2022. Determination of 56 perand polyfluoroalkyl substances in top predators and their prey from Northern Europe by LC-MS/MS. Chemosphere 287, 131775.
- Bach, C., Dauchy, X., Boiteux, V., Colin, A., Hemard, J., Sagres, V., Rosin, C., Munoz, J.-F., 2017. The impact of two fluoropolymer manufacturing facilities on downstream contamination of a river and drinking water resources with per-and polyfluoroalkyl substances. Environmental Science and Pollution Research 24, 4916–4925.
- **Backe, W.J., Day, T.C., Field, J.A.**, 2013. Zwitterionic, cationic, and anionic fluorinated chemicals in aqueous film forming foam formulations and groundwater from US military bases by nonaqueous large-volume injection HPLC-MS/MS. Environmental science & technology 47, 5226–5234.
- **Baduel, C., Mueller, J.F., Rotander, A., Corfield, J., Gomez-Ramos, M.-J.**, 2017. Discovery of novel per-and polyfluoroalkyl substances (PFASs) at a fire fighting training ground and preliminary investigation of their fate and mobility. Chemosphere 185, 1030–1038.
- Bao, J., Yu, W.-J., Liu, Y., Wang, X., Jin, Y.-H., Dong, G.-H., 2019. Perfluoroalkyl substances in groundwater and home-produced vegetables and eggs around a fluorochemical industrial park in China. Ecotoxicology and Environmental Safety 171, 199–205.
- Barzen-Hanson, K.A., Roberts, S.C., Choyke, S., Oetjen, K., McAlees, A., Riddell, N., McCrindle, R., Ferguson, P.L., Higgins, C.P., Field, J.A., 2017. Discovery of 40 classes of per-and polyfluoroalkyl substances in historical aqueous film-forming foams (AFFFs) and AFFF-impacted groundwater. Environmental science & technology 51, 2047–2057.

- Bečanová, J., Melymuk, L., Vojta, Š., Komprdová, K., Klánová, J., 2016. Screening for perfluoroalkyl acids in consumer products, building materials and wastes. Chemosphere 164, 322–329.
- Benskin, J.P., Ikonomou, M.G., Gobas, F.A., Woudneh, M.B., Cosgrove, J.R., 2012a. Observation of a novel PFOS-precursor, the perfluorooctane sulfonamido ethanol-based phosphate (SAmPAP) diester, in marine sediments. Environmental science & technology 46, 6505–6514.
- Benskin, J.P., Li, B., Ikonomou, M.G., Grace, J.R., Li, L.Y., 2012b. Per-and polyfluoroalkyl substances in landfill leachate: patterns, time trends, and sources. Environmental science & technology 46, 11532–11540.
- Berhanu, A., Mutanda, I., Taolin, J., Qaria, M.A., Yang, B., Zhu, D., 2023. A review of microbial degradation of per-and polyfluoroalkyl substances (PFAS): Biotransformation routes and enzymes. Science of The Total Environment 859, 160010.
- Bolan, N., Hoang, S.A., Yan, Y., Ramanayaka, S., Koliyabandara, P., Chamanee, G., Wijesekara, H., Mukhopadhyay, R., Sarkar, B., Vithanage, M., 2021. Landfills as Sources of PFAS Contamination of Soil and Groundwater, in: Forever Chemicals. CRC Press, pp. 119–142.
- **Bugsel, B., Bauer, R., Herrmann, F., Maier, M.E., Zwiener, C.**, 2022. LC-HRMS screening of per-and polyfluorinated alkyl substances (PFAS) in impregnated paper samples and contaminated soils. Analytical and Bioanalytical Chemistry 414, 1217–1225.
- Busch, J., Ahrens, L., Sturm, R., Ebinghaus, R., 2010. Polyfluoroalkyl compounds in landfill leachates. Environmental pollution 158, 1467–1471.
- **Cavelan, A., Togola, A.**, 2024. État des lieux des substances poly et perfluorées associées à l'utilisation des mousses anti-incendie (AFFF). Rapport final V1 (No. BRGM/RP-73431-FR). BRGM.
- Chai, J., Lei, P., Xia, X., Xu, G., Wang, D., Sun, R., Gu, J., Tang, L., 2017. Pollution patterns and characteristics of perfluorinated compounds in surface water adjacent potential industrial emission categories of Shanghai, China. Ecotoxicology and environmental safety 145, 659–664.
- Charbonnet, J.A., Rodowa, A.E., Joseph, N.T., Guelfo, J.L., Field, J.A., Jones, G.D., Higgins, C.P., Helbling, D.E., Houtz, E.F., 2021. Environmental source tracking of per-and polyfluoroalkyl substances within a forensic context: current and future techniques. Environmental science & technology 55, 7237–7245.
- Chen, H., Yao, Y., Zhao, Z., Wang, Y., Wang, Q., Ren, C., Wang, B., Sun, H., Alder, A.C., Kannan, K., 2018. Multimedia distribution and transfer of per-and polyfluoroalkyl substances (PFASs) surrounding two fluorochemical manufacturing facilities in Fuxin, China. Environmental science & technology 52, 8263–8271.
- Choi, Y.J., Helbling, D.E., Liu, J., Olivares, C.I., Higgins, C.P., 2022. Microbial biotransformation of aqueous film-forming foam derived polyfluoroalkyl substances. Science of The Total Environment 824, 153711.

- **Coffin, E.S., Reeves, D.M., Cassidy, D.P.**, 2022. PFAS in municipal solid waste landfills: Sources, leachate composition, chemical transformations, and future challenges. Current Opinion in Environmental Science & Health 100418.
- Cook, E.K., Olivares, C.I., Antell, E.H., Yi, S., Nickerson, A., Choi, Y.J., Higgins, C.P., Sedlak, D.L., Alvarez-Cohen, L., 2022. Biological and chemical transformation of the six-carbon polyfluoroalkyl substance N-dimethyl ammonio propyl perfluorohexane sulfonamide (AmPr-FHxSA). Environmental Science & Technology 56, 15478–15488.
- **D'Agostino, L.A., Mabury, S.A.**, 2017a. Aerobic biodegradation of 2 fluorotelomer sulfonamide—based aqueous film—forming foam components produces perfluoroalkyl carboxylates. Environmental toxicology and chemistry 36, 2012–2021.
- **D'Agostino, L.A., Mabury, S.A.**, 2017b. Certain perfluoroalkyl and polyfluoroalkyl substances associated with aqueous film forming foam are widespread in Canadian surface waters. Environmental Science & Technology 51, 13603–13613.
- **D'Agostino, L.A., Mabury, S.A.**, 2014. Identification of novel fluorinated surfactants in aqueous film forming foams and commercial surfactant concentrates. Environmental science & technology 48, 121–129.
- **Dasu, K., Xia, X., Siriwardena, D., Klupinski, T.P., Seay, B.**, 2022. Concentration profiles of per-and polyfluoroalkyl substances in major sources to the environment. Journal of Environmental Management 301, 113879.
- **Dauchy, X.**, 2023. Evidence of large-scale deposition of airborne emissions of per-and polyfluoroalkyl substances (PFASs) near a fluoropolymer production plant in an urban area. Chemosphere 337, 139407.
- Dauchy, X., Boiteux, V., Bach, C., Colin, A., Hemard, J., Rosin, C., Munoz, J.-F., 2017. Mass flows and fate of per-and polyfluoroalkyl substances (PFASs) in the wastewater treatment plant of a fluorochemical manufacturing facility. Science of the Total Environment 576, 549–558.
- Dauchy, X., Boiteux, V., Colin, A., Bach, C., Rosin, C., Munoz, J.-F., 2019a. Poly-and perfluoroalkyl substances in runoff water and wastewater sampled at a firefighter training area. Archives of environmental contamination and toxicology 76, 206–215.
- Dauchy, X., Boiteux, V., Colin, A., Hémard, J., Bach, C., Rosin, C., Munoz, J.-F., 2019b. Deep seepage of per-and polyfluoroalkyl substances through the soil of a firefighter training site and subsequent groundwater contamination. Chemosphere 214, 729–737.
- Dauchy, X., Boiteux, V., Rosin, C., Munoz, J.-F., 2012a. Relationship between industrial discharges and contamination of raw water resources by perfluorinated compounds. Part I: case study of a fluoropolymer manufacturing plant. Bulletin of environmental contamination and toxicology 89, 525–530.
- **Dauchy, X., Boiteux, V., Rosin, C., Munoz, J.-F.**, 2012b. Relationship between industrial discharges and contamination of raw water resources by perfluorinated compounds: Part II: Case study of a fluorotelomer polymer manufacturing plant. Bulletin of environmental contamination and toxicology 89, 531–536.

- **De Silva, A.O., Spencer, C., Scott, B.F., Backus, S., Muir, D.C.**, 2011. Detection of a cyclic perfluorinated acid, perfluoroethylcyclohexane sulfonate, in the Great Lakes of North America. Environmental Science & Technology 45, 8060–8066.
- D'eon, J.C., Crozier, P.W., Furdui, V.I., Reiner, E.J., Libelo, E.L., Mabury, S.A., 2009. Observation of a commercial fluorinated material, the polyfluoroalkyl phosphoric acid diesters, in human sera, wastewater treatment plant sludge, and paper fibers. Environmental science & technology 43, 4589–4594.
- Du, Z., Deng, S., Liu, D., Yao, X., Wang, Yu, Lu, X., Wang, B., Huang, J., Wang, Yujue, Xing, B., 2016. Efficient adsorption of PFOS and F53B from chrome plating wastewater and their subsequent degradation in the regeneration process. Chemical Engineering Journal 290, 405–413.
- **Eggen, T., Moeder, M., Arukwe, A.**, 2010. Municipal landfill leachates: a significant source for new and emerging pollutants. Science of the Total Environment 408, 5147–5157.
- **Fath, A., Sacher, F., McCaskie, J.E.**, 2016. Electrochemical decomposition of fluorinated wetting agents in plating industry waste water. Water Science and Technology 73, 1659–1666.
- Feng, X., Yi, S., Shan, G., Chen, X., Yang, Y., Yang, L., Jia, Y., Zhu, Y., Zhu, L., 2023. Occurrence of perfluoroalkyl substances in the environment compartments near a mega fluorochemical industry: Implication of specific behaviors and emission estimation. Journal of Hazardous Materials 445, 130473.
- Filipovic, M., Woldegiorgis, A., Norström, K., Bibi, M., Lindberg, M., Österås, A.-H., 2015. Historical usage of aqueous film forming foam: A case study of the widespread distribution of perfluoroalkyl acids from a military airport to groundwater, lakes, soils and fish. Chemosphere 129, 39–45.
- **Fuertes, I., Gómez-Lavín, S., Elizalde, M.P., Urtiaga, A.**, 2017. Perfluorinated alkyl substances (PFASs) in northern Spain municipal solid waste landfill leachates. Chemosphere 168, 399–407.
- **Gaines, L.G.**, 2023. Historical and current usage of per-and polyfluoroalkyl substances (PFAS): A literature review. American Journal of Industrial Medicine 66, 353–378.
- **Gallen, C., Drage, D., Eaglesham, G., Grant, S., Bowman, M., Mueller, J.F.**, 2017. Australia-wide assessment of perfluoroalkyl substances (PFASs) in landfill leachates. Journal of hazardous materials 331, 132–141.
- Gao, Z., Yi, S., Xue, M., Zhu, K., Yang, R., Wang, T., Sun, H., Zhu, L., 2023. Microbial biotransformation mechanisms of PFPiAs in soil unveiled by metagenomic analysis. Journal of Hazardous Materials 448, 130896.
- Glüge, J., Scheringer, M., Cousins, I.T., DeWitt, J.C., Goldenman, G., Herzke, D., Lohmann, R., Ng, C.A., Trier, X., Wang, Z., 2020. An overview of the uses of per-and polyfluoroalkyl substances (PFAS). Environmental Science: Processes & Impacts 22, 2345–2373.
- **Gremmel, C., Frömel, T., Knepper, T.P.**, 2016. Systematic determination of perfluoroalkyl and polyfluoroalkyl substances (PFASs) in outdoor jackets. Chemosphere 160, 173–180.

- Gu, C., Xu, C., Zhou, Q., Shen, C., Ma, C., Liu, S., Yin, S., Li, F., 2021. Congener-and isomer-specific Perfluorinated compounds in textile wastewater from Southeast China. Journal of Cleaner Production 320, 128897.
- Hale, S.E., Arp, H.P.H., Slinde, G.A., Wade, E.J., Bjørseth, K., Breedveld, G.D., Straith, B.F., Moe, K.G., Jartun, M., Høisæter, Å., 2017. Sorbent amendment as a remediation strategy to reduce PFAS mobility and leaching in a contaminated sandy soil from a Norwegian firefighting training facility. Chemosphere 171, 9–18.
- Hale, S.E., Canivet, B., Rundberget, T., Langberg, H.A., Allan, I.J., 2021. Using passive samplers to track Per and Polyfluoroalkyl Substances (PFAS) emissions from the paper industry: laboratory calibration and field verification. Frontiers in Environmental Science 9, 621.
- **Hamid, H., Li, L.**, 2016. Role of wastewater treatment plant (WWTP) in environmental cycling of poly-and perfluoroalkyl (PFAS) compounds. Ecocycles 2, 43–53.
- **Hamid, H., Li, L.Y., Grace, J.R.**, 2018. Review of the fate and transformation of per-and polyfluoroalkyl substances (PFASs) in landfills. Environmental Pollution 235, 74–84.
- Harris, K.J., Munoz, G., Woo, V., Sauvé, S., Rand, A.A., 2022. Targeted and suspect screening of per-and polyfluoroalkyl substances in cosmetics and personal care products. Environmental Science & Technology 56, 14594–14604.
- He, A., Liang, Y., Li, F., Lu, Y., Liu, C., Li, J., Zhou, Z., Zhu, N., Liao, C., Wang, Y., 2022. Vital environmental sources for multitudinous fluorinated chemicals: new evidence from industrial byproducts in multienvironmental matrices in a fluorochemical manufactory. Environmental Science & Technology 56, 16789–16800.
- Hepburn, E., Madden, C., Szabo, D., Coggan, T.L., Clarke, B., Currell, M., 2019. Contamination of groundwater with per-and polyfluoroalkyl substances (PFAS) from legacy landfills in an urban re-development precinct. Environmental Pollution 248, 101–113.
- **Heydebreck, F., Tang, J., Xie, Z., Ebinghaus, R.**, 2016. Emissions of per-and polyfluoroalkyl substances in a textile manufacturing plant in China and their relevance for workers' exposure. Environmental science & technology 50, 10386–10396.
- Høisæter, Å., Pfaff, A., Breedveld, G.D., 2019. Leaching and transport of PFAS from aqueous film-forming foam (AFFF) in the unsaturated soil at a firefighting training facility under cold climatic conditions. Journal of contaminant hydrology 222, 112–122.
- **Holmquist, H.**, 2016. Environmental Assessment of Alternative Durable Water Repellent Chemicals. Chalmers University of Technology.
- Holmquist, H., Roos, S., Schellenberger, S., Jönsson, C., Peters, G., 2021. What difference can drop-in substitution actually make? A life cycle assessment of alternative water repellent chemicals. Journal of Cleaner Production 329, 129661.
- **Houtz, E.F., Higgins, C.P., Field, J.A., Sedlak, D.L.**, 2013. Persistence of perfluoroalkyl acid precursors in AFFF-impacted groundwater and soil. Environmental science & technology 47, 8187–8195.

- **Houtz, E.F., Sutton, R., Park, J.-S., Sedlak, M.**, 2016. Poly-and perfluoroalkyl substances in wastewater: Significance of unknown precursors, manufacturing shifts, and likely AFFF impacts. Water research 95, 142–149.
- **Huset, C.A., Barlaz, M.A., Barofsky, D.F., Field, J.A.**, 2011. Quantitative determination of fluorochemicals in municipal landfill leachates. Chemosphere 82, 1380–1386.
- **Jacob, P., Barzen-Hanson, K.A., Helbling, D.E.**, 2021. Target and nontarget analysis of perand polyfluoralkyl substances in wastewater from electronics fabrication facilities. Environmental Science & Technology 55, 2346–2356.
- Janousek, R.M., Lebertz, S., Knepper, T.P., 2019. Previously unidentified sources of perfluoroalkyl and polyfluoroalkyl substances from building materials and industrial fabrics. Environmental Science: Processes & Impacts 21, 1936–1945.
- **Kärrman, A., Elgh-Dalgren, K., Lafossas, C., Møskeland, T.**, 2011. Environmental levels and distribution of structural isomers of perfluoroalkyl acids after aqueous fire-fighting foam (AFFF) contamination. Environmental chemistry 8, 372–380.
- **Keml, O.**, 2015. use of highly 717 fluorinated substances and alternatives. Swedish Chemicals Agency.
- Kissa, E., 2001. Fluorinated surfactants and repellents. CRC Press.
- Knutsen, H., Mæhlum, T., Haarstad, K., Slinde, G.A., Arp, H.P.H., 2019. Leachate emissions of short-and long-chain per-and polyfluoralkyl substances (PFASs) from various Norwegian landfills. Environmental Science: Processes & Impacts 21, 1970–1979.
- Lang, J.R., Allred, B.M., Field, J.A., Levis, J.W., Barlaz, M.A., 2017. National estimate of perand polyfluoroalkyl substance (PFAS) release to US municipal landfill leachate. Environmental science & technology 51, 2197–2205.
- Langberg, H.A., Arp, H.P.H., Breedveld, G.D., Slinde, G.A., Høiseter, Å., Grønning, H.M., Jartun, M., Rundberget, T., Jenssen, B.M., Hale, S.E., 2021. Paper product production identified as the main source of per-and polyfluoroalkyl substances (PFAS) in a Norwegian lake: Source and historic emission tracking. Environmental Pollution 273, 116259.
- Langberg, H.A., Breedveld, G.D., Grønning, H.M., Kvennås, M., Jenssen, B.M., Hale, S.E., 2019. Bioaccumulation of fluorotelomer sulfonates and perfluoroalkyl acids in marine organisms living in aqueous film-forming foam impacted waters. Environmental science & technology 53, 10951–10960.
- Langberg, H.A., Hale, S.E., Breedveld, G.D., Jenssen, B.M., Jartun, M., 2022. A review of PFAS fingerprints in fish from Norwegian freshwater bodies subject to different source inputs. Environmental Science: Processes & Impacts 24, 330–342.
- **Lee, H., Mabury, S.A.**, 2017. Sorption of perfluoroalkyl phosphonates and perfluoroalkyl phosphinates in soils. Environmental Science & Technology 51, 3197–3205.
- **Lin, Y., Ruan, T., Liu, A., Jiang, G.**, 2017. Identification of novel hydrogen-substituted polyfluoroalkyl ether sulfonates in environmental matrices near metal-plating facilities. Environmental Science & Technology 51, 11588–11596.

- **Liu, J., Avendaño, S.M.**, 2013. Microbial degradation of polyfluoroalkyl chemicals in the environment: a review. Environment international 61, 98–114.
- LLANO, D.H.S., 2015. TOXICITY OF PERFLUORINATED PHOSPHONIC ACIDS IN CHLAMYDOMONAS.
- Luo, Y.-S., Aly, N.A., McCord, J., Strynar, M.J., Chiu, W.A., Dodds, J.N., Baker, E.S., Rusyn, I., 2020. Rapid characterization of emerging per-and polyfluoroalkyl substances in aqueous film-forming foams using ion mobility spectrometry—mass spectrometry. Environmental science & technology 54, 15024—15034.
- Maizel, A.C., Thompson, A., Tighe, M., Veras, S.E., Rodowa, A.E., Falkenstein-Smith, R., Benner, B.A., Hoffman, K., Donnelly, M.K., Hernandez, O., 2023. Per-and Polyfluoroalkyl Substances in New Firefighter Turnout Gear Textiles. Department of Commerce. National Institute of Standards and Technology.
- Masoner, J.R., Kolpin, D.W., Cozzarelli, I.M., Smalling, K.L., Bolyard, S.C., Field, J.A., Furlong, E.T., Gray, J.L., Lozinski, D., Reinhart, D., 2020. Landfill leachate contributes per-/poly-fluoroalkyl substances (PFAS) and pharmaceuticals to municipal wastewater. Environmental Science: Water Research & Technology 6, 1300–1311.
- Monge Brenes, A.L., Curtzwiler, G., Dixon, P., Harrata, K., Talbert, J., Vorst, K., 2019. PFOA and PFOS levels in microwave paper packaging between 2005 and 2018. Food Additives & Contaminants: Part B 12, 191–198.
- **Moody, C.A., Field, J.A.**, 2000. Perfluorinated surfactants and the environmental implications of their use in fire-fighting foams. Environmental science & technology 34, 3864–3870.
- **Mumtaz, M., Bao, Y., Li, W., Kong, L., Huang, J., Yu, G.**, 2019. Screening of textile finishing agents available on the Chinese market: an important source of per-and polyfluoroalkyl substances to the environment. Frontiers of Environmental Science & Engineering 13, 1–10.
- Na, S., Hai, R., Wang, X., Li, N., 2021. Trends and Levels of Perfluorinated Compounds in Soil and Sediment Surrounding a Cluster of Metal Plating Industries. Soil and Sediment Contamination: An International Journal 30, 423–435.
- Paustenbach, D.J., Panko, J.M., Scott, P.K., Unice, K.M., 2006. A methodology for estimating human exposure to perfluorooctanoic acid (PFOA): a retrospective exposure assessment of a community (1951–2003). Journal of Toxicology and Environmental Health, Part A 70, 28–57.
- Peaslee, G.F., Wilkinson, J.T., McGuinness, S.R., Tighe, M., Caterisano, N., Lee, S., Gonzales, A., Roddy, M., Mills, S., Mitchell, K., 2020. Another pathway for firefighter exposure to per-and polyfluoroalkyl substances: Firefighter textiles. Environmental Science & Technology Letters 7, 594–599.
- **Peffly, M., Geary, N., Staudigel, J.**, 2004. Personal care composition containing a cationic cellulose polymer and an anionic surfactant system. Google Patents.
- **Place, B.J., Field, J.A.**, 2012. Identification of novel fluorochemicals in aqueous film-forming foams used by the US military. Environmental science & technology 46, 7120–7127.

- **Prevedouros, K., Cousins, I.T., Buck, R.C., Korzeniowski, S.H.**, 2006. Sources, fate and transport of perfluorocarboxylates. Environmental science & technology 40, 32–44.
- **Pütz, K.W., Namazkar, S., Plassmann, M., Benskin, J.P.**, 2022. Are cosmetics a significant source of PFAS in Europe? product inventories, chemical characterization and emission estimates. Environmental Science: Processes & Impacts 24, 1697–1707.
- **Qu, Y., Huang, J., Willand, W., Weber, R.**, 2020. Occurrence, removal and emission of per-and polyfluorinated alkyl substances (PFASs) from chrome plating industry: A case study in Southeast China. Emerging Contaminants 6, 376–384.
- **Reinikainen, J., Perkola, N., Äystö, L., Sorvari, J.**, 2022. The occurrence, distribution, and risks of PFAS at AFFF-impacted sites in Finland. Science of the Total Environment 829, 154237.
- Rewerts, J.N., Morré, J.T., Massey Simonich, S.L., Field, J.A., 2018. In-vial extraction large volume gas chromatography mass spectrometry for analysis of volatile PFASs on papers and textiles. Environmental science & technology 52, 10609–10616.
- Ruan, T., Wang, Y., Wang, T., Zhang, Q., Ding, L., Liu, J., Wang, C., Qu, G., Jiang, G., 2010. Presence and partitioning behavior of polyfluorinated iodine alkanes in environmental matrices around a fluorochemical manufacturing plant: another possible source for perfluorinated carboxylic acids? Environmental science & technology 44, 5755–5761.
- Ruyle, B.J., Pickard, H.M., LeBlanc, D.R., Tokranov, A.K., Thackray, C.P., Hu, X.C., Vecitis, C.D., Sunderland, E.M., 2021. Isolating the AFFF signature in coastal watersheds using oxidizable PFAS precursors and unexplained organofluorine. Environmental Science & Technology 55, 3686–3695.
- Schellenberger, S., Liagkouridis, I., Awad, R., Khan, S., Plassmann, M., Peters, G., Benskin, J.P., Cousins, I.T., 2022. An outdoor aging study to investigate the release of per-and polyfluoroalkyl substances (PFAS) from functional textiles. Environmental Science & Technology 56, 3471–3479.
- **Schulz, K., Silva, M.R., Klaper, R.**, 2020. Distribution and effects of branched versus linear isomers of PFOA, PFOS, and PFHxS: a review of recent literature. Science of the Total Environment 733, 139186.
- Siao, P., Tseng, S.-H., Chen, C.-Y., 2022. Determination of perfluoroalkyl substances in food packaging in Taiwan using ultrasonic extraction and ultra-performance liquid chromatography/tandem mass spectrometry. Journal of Food and Drug Analysis 30, 11.
- Sim, W., Park, H., Yoon, J.-K., Kim, J.-I., Oh, J.-E., 2021. Characteristic distribution patterns of perfluoroalkyl substances in soils according to land-use types. Chemosphere 276, 130167.
- Song, D., Qiao, B., Yao, Y., Zhao, L., Wang, X., Chen, H., Zhu, L., Sun, H., 2023. Target and nontarget analysis of per-and polyfluoroalkyl substances in surface water, groundwater and sediments of three typical fluorochemical industrial parks in China. Journal of Hazardous Materials 460, 132411.

- **Stults, J.F., Higgins, C.P., Helbling, D.E.**, 2023. Integration of Per-and Polyfluoroalkyl Substance (PFAS) Fingerprints in Fish with Machine Learning for PFAS Source Tracking in Surface Water. Environmental Science & Technology Letters.
- Sun, M., Arevalo, E., Strynar, M., Lindstrom, A., Richardson, M., Kearns, B., Pickett, A., Smith, C., Knappe, D.R., 2016. Legacy and emerging perfluoroalkyl substances are important drinking water contaminants in the Cape Fear River Watershed of North Carolina. Environmental science & technology letters 3, 415–419.
- Taniyasu, S., Yamashita, N., Yamazaki, E., Rostkowski, P., Yeung, L.W.Y., Kurunthachalam, S.K., Kannan, K., Loganathan, B.G., 2015. Contamination profiles of perfluorinated chemicals in the inland and coastal waters of Japan following the use of fire-fighting foams, in: Water Challenges and Solutions on a Global Scale. ACS Publications, pp. 221–244.
- **Trier, X., Granby, K., Christensen, J.H.**, 2011. Polyfluorinated surfactants (PFS) in paper and board coatings for food packaging. Environmental Science and Pollution Research 18, 1108–1120.
- Van Der Veen, I., Schellenberger, S., Hanning, A.-C., Stare, A., De Boer, J., Weiss, J.M., Leonards, P.E., 2022. Fate of per-and polyfluoroalkyl substances from durable water-repellent clothing during use. Environmental Science & Technology 56, 5886–5897.
- **Venkatesan, A.K., Halden, R.U.**, 2013. National inventory of perfluoroalkyl substances in archived US biosolids from the 2001 EPA National Sewage Sludge Survey. Journal of hazardous materials 252, 413–418.
- Wang, Z., Cousins, I.T., Berger, U., Hungerbühler, K., Scheringer, M., 2016. Comparative assessment of the environmental hazards of and exposure to perfluoroalkyl phosphonic and phosphinic acids (PFPAs and PFPiAs): current knowledge, gaps, challenges and research needs. Environment international 89, 235–247.
- Wang, Z., Cousins, I.T., Scheringer, M., Buck, R.C., Hungerbühler, K., 2014. Global emission inventories for C4–C14 perfluoroalkyl carboxylic acid (PFCA) homologues from 1951 to 2030, Part I: production and emissions from quantifiable sources. Environment international 70, 62–75.
- Whitehead, H.D., Venier, M., Wu, Y., Eastman, E., Urbanik, S., Diamond, M.L., Shalin, A., Schwartz-Narbonne, H., Bruton, T.A., Blum, A., 2021. Fluorinated compounds in North American cosmetics. Environmental Science & Technology Letters 8, 538–544.
- Williams, J.T., 2017. Waterproof and water repellent textiles and clothing. Woodhead Publishing.
- **Ye, F., Zushi, Y., Masunaga, S.**, 2015. Survey of perfluoroalkyl acids (PFAAs) and their precursors present in Japanese consumer products. Chemosphere 127, 262–268. https://doi.org/10.1016/j.chemosphere.2015.02.026
- Zabaleta, I., Bizkarguenaga, E., Bilbao, D., Etxebarria, N., Prieto, A., Zuloaga, O., 2016. Fast and simple determination of perfluorinated compounds and their potential precursors in different packaging materials. Talanta 152, 353–363.

- Zabaleta, I., Blanco-Zubiaguirre, L., Baharli, E.N., Olivares, M., Prieto, A., Zuloaga, O., Elizalde, M.P., 2020. Occurrence of per-and polyfluorinated compounds in paper and board packaging materials and migration to food simulants and foodstuffs. Food chemistry 321, 126746.
- Zhang, X., Lohmann, R., Dassuncao, C., Hu, X.C., Weber, A.K., Vecitis, C.D., Sunderland, E.M., 2016. Source attribution of poly-and perfluoroalkyl substances (PFASs) in surface waters from Rhode Island and the New York Metropolitan Area. Environmental science & technology letters 3, 316–321.
- **Zhang, Z., Sarkar, D., Biswas, J.K., Datta, R.**, 2022. Biodegradation of per-and polyfluoroalkyl substances (PFAS): A review. Bioresource technology 344, 126223.





Liberté Égalité Fraternité

Centre scientifique et technique Direction Eau, Environnement, Procédés et Analyses 3, avenue Claude-Guillemin BP 36009 45060 – Orléans Cedex 2 – France Tél. : 02 38 64 34 34

www.brgm.fr